

LIETUVOS KŪNO KULTŪROS AKADEMIJA

SPORTO BIOMEDICINOS FAKULTETAS

Kineziterapijos ir sporto medicinos katedra

MAGISTRO BAIGIAMASIS DARBAS

**FIZIOTERAPINIŲ PRIEMONIŲ POVEIKIS RAUMENS
FUNKCIJAI**

Vadovas

Prof. habil.dr. A.Skurvydas

Atliko

I. Domarkaitė

KAUNAS 2005

TURINYS

SANTRUMPOS	3
IVADAS	4
1. LITERATŪROS APŽVALGA	6
1.1. RAUMENS SUSITRAUKIMO IR ATSPALAIADAVIMO MECHANIZMAI.....	6
1.2. RAUMENS AKTYVIOSIOS MECHANINĖS SAVYBĖS	8
1.2.1. <i>Priklausomybė „raumens susitraukimo greitis – jėga“</i>	8
1.2.2. <i>Priklausomybė „raumens susitraukimo jėga – laikas“</i>	8
1.3. RAUMENS PASYVIOSIOS MECHANINĖS SAVYBĖS	9
1.3.1. <i>Priklausomybė „raumens jėga – ilgis“</i>	9
1.4. BIOMECHANINIAI IR FIZIOLOGINIAI VEIKSNIAI, LEMIANTYS ŠOKLUMĄ.....	10
1.4.1. <i>Šoklumą lemiantys faktoriai.....</i>	10
1.4.2. <i>Šoklumo fiziologiniai pagrindai</i>	12
1.5. TEMPERATŪROS POVEIKIS RAUMENS FUNKCIJAI	14
1.6. TEMPERATŪROS FIZIOTERAPINIS POVEIKIS	18
1.6.1 <i>Krioterapija.....</i>	18
1.6.2. <i>Šilumos terapija.....</i>	20
2. TYRIMO TIKSLAS, UŽDAVINIAI, METODAI IR ORGANIZAVIMAS.....	23
2.1. TYRIMO HIPOTEZĖ, TIKSLAS IR UŽDAVINIAI	23
2.2. TYRIMO METODO ORGANIZAVIMAS, TIRIAMŲJŲ KONTINGENTO APRĀSYMAS	23
3. TYRIMŲ REZULTATAI IR JŲ ANALIZĖ	26
3.1. TYRIMO TAIKANT PASYVŲ ŠILDYMĄ REZULTATAI	26
3.1.1. <i>Šuolio atsispyrimo jėga</i>	26
3.1.2. <i>Šuolio atsispyrimo greitis.....</i>	27
3.1.3. <i>Šuolio atsispyrimo galingumas.....</i>	28
3.1.4. <i>Šuolio aukštis.....</i>	29
3.1.5. <i>Lėtosios ir greitosios raumeninės skaidulos.....</i>	30
3.1.6. <i>Šuolio elastinė energija.....</i>	31
3.2. TYRIMO TAIKANT PASYVŲ ŠALDYMĄ REZULTATAI	32
3.2.1. <i>Šuolio atsispyrimo jėga</i>	32
3.2.2. <i>Šuolio atsispyrimo greitis</i>	33
3.2.3. <i>Šuolio atsispyrimo galingumas.....</i>	34
3.2.4. <i>Šuolio aukštis.....</i>	35
3.2.5. <i>Lėtosios ir greitosios raumeninės skidulos.....</i>	35
3.2.6. <i>Šuolio elastinė energija.....</i>	36
4. TYRYMO REZULTATŲ APTARIMAS.....	37
5. APIBENDRINIMAS	41
ĮŠVADOS.....	43
LITERATŪRA.....	44

SANTRUMPOS

ADP	adenozindifosfatas
ATP	adenozintrifosfatas
Ca	kalcis
CICR	kalcio jonų išmetimas ir grįžimas į sarkoplazminę tinklą
CNS	centrinė nervų sistema
GGV	greitosios raumeninės skaidulos
hp	šuoliukas su amortizuojančiu pritūpimu
hp135	šuoliukas su amortizuojančiu pritūpimu, pritūpiant iki 135^0 kampo
hp90	šuoliukas su amortizuojančiu pritūpimu, pritūpiant iki 90^0 kampo
hst	šuoliukas be amortizuojančio pritūpimo
hst135	šuoliukas be amortizuojančio pritūpimo, pritūpiant iki 135^0 kampo
hst90	šuoliukas be amortizuojančio pritūpimo, pritūpiant iki 90^0 kampo
LLV	lėtosios raumeninės skaidulos
M1	šuolio pritupiant iki 135^0 kampo raumeninių skaidulų absolitus elastingumas
M2	šuolio pritupiant iki 90^0 kampo raumeninių skaidulų absolitus elastingumas
M3	šuolio pritupiant iki 90^0 kampo raumeninių skaidulų santykinis elastingumas
M4	šuolio pritupiant iki 135^0 kampo raumeninių skaidulų santykinis elastingumas
RS	raumeninės skaidulos
TnC	troponinas C
V _{maks.}	maksimalus greitis

IVADAS

Šiluma ir šaltis – fizioterapijos veiksniai. Tieki šaltis, tiek šiluma yra paprastos, mobilios ir nebrangios skausmą ir raumenų spazmą atsiradusius po traumos, ar chronišką skausmą mažinančios priemonės, kurias paprasta naudoti ir namų sąlygomis. Nors tai bene patys paprasčiausi ir labiausiai paplitę metodai, tačiau jų fiziologiniai poveikio mechanizmai nėra pilnai išaiškinti (Craig, 2000). Dažnai šiluma ir šaltis būna taikomi kartu su gydomaisiais ar tempimo pratimais, tačiau šalčio poveikis aktyviems pratimams prieštaringas, kai kurie mokslininkai teigia, kad jis neturi didelio poveikio pažeistų raumenų funkcinėms savybėms (Paddon-Jones, Quigley, 1997; Taylor, Waring, Brashears, 1995).

Dėl sunkaus fizinio darbo metu atsirandančio metabolinio ir mechaninio poveikio atsiranda įvairių funkciinių ir struktūrinių raumens sutrikimų: sujura miofibrilės, raumeninės skaidulos sarkolema, sarkoplazminis tinklas, sumažėja raumens susitraukimo galingumas, atsiranda raumens skausmas. Šalčio terapija dažnai taikoma sportinėms traumoms, minkštujų audinių pažeidimams gydyti, nors jos įtaka raumens darbui nėra aiški (Eston, Peters, 1999).

Fizioterapijos tikslas yra šalinant skeleto ir raumenų sistemos sutrikimus numalšinti skausmą ir atpalaiduoti raumenų spazmus, padidinti sąnarių paslankumą ir raumenų jėgą, pagerinti paciento funkcinę pajėgumą. Vandens šiluma leidžia pacientui atsipalauduoti, sumažina skausmą. Tada pacientas gali judėti su didesniu komfortu, didėja pratimų amplitudė. Kai šiluma pasiekia raumenis ir jų temperatūra pakyla, jie susitraukia kur kas lengviau ir stipriau (Duffield, 1976).

Tiriant terapinio šildymo įtaką kelio sausgyslių lankstumu, nustatyta, kad šis padidėjo. Šie atradimai gali turėti naudos fizioterapijam gydymui, taip pat traumų profilaktikai atletams su neadekvaciū lankstumu ar praeityje turėjusių traumų. (Funk, Swank, Adams, Treolo, 2001).

Pramankšta turi pastebimą efektą temperatūros padidėjimui, o kartu ir fiziologiniams procesams raumenyje. Fiziologiškai pramankšta yra naudinga raumenų žalos profilaktikoje, didinant raumens-sausgyslės elastingumą bei ilgį. Pakilusi kūno vidaus temperatūra greitina deguonies atsiskyrimą nuo hemoglobino ir mioglobino, metabolines reakcijas, kraujo tekėjimo srovę raumenyse, mažina raumenų klampą, didina veikimo potencialo sklidimo greitį, deguonies suvartojimą (Blomstrand et al., 1984; Shellock, Pretince, 1985; Febbraio et al., 1994 a; Koga et al., 1997; Booth et al., 2001).

Skurvydas, Kandratavičius ir Bružas (1999) teigia, kad norint efektyviau atlikti judesius ir apsaugoti motorinę sistemą nuo traumų, būtina padidinti raumens temperatūrą. Tačiau norint padidinti raumens temperatūrą $2,7^{\circ}$ C atliekant fizinius pratimus, sukeliamas raumens nuovargis, todėl būtina ieškoti profilaktinių raumens šildymo būdų.

Norint išgauti temperatūros padidėjimo naudą, reikia pakelti raumens temperatūrą 3 – 4° C (Sargeant, 1987). Klasikiniu apsilimu tam reiktų bėgti 30 – 40 minučių maksimaliu intensyvumu, o tam reikia išeikvoti nemažai energijos. Pasyvaus apsilimo pliusas tas, kad šildant raumenį vandens vonioje ar kitu būdu, padidinti raumens temperatūrą yra nesunku, o taip pat suauopoma energija (Sargeant, 1987; Davies, Young, 1983).

Žinoma, kad temperatūrai sumažėjus 10^0 C biologinių procesų apykaita gali sumažėti nuo $\frac{1}{2}$ iki $\frac{2}{3}$ karto (Benett A, 1984). Atšalus raumeniui nuo 35 iki 25^0 C, raumeninių skaidulų maksimalusis susitraukimo ir atsipalaidavimo greitis pablogėja. Tyrimai su gyvūnais rodo, kad jėgos išsvystymo ir atsipalaidavimo greitis esant žemai temperatūrai sumažėja (Ranatunga, 1982; Bennett, 1984; Ranatunga, 1984; Kossler, Kuchler, 1987; Rall, Woledge, 1990). Tačiau duomenis, gautos ištyrus izoliuotus gyvūnų raumenų preparatus, yra sunku pritaikyti tyrinėjant žmogaus raumenis, nes izoliuoti raumenys dažnai yra tiriami esant žemai temperatūrai (10 – 36^0 C), be to temperatūros poveikis skirtingoms raumeninėms skaiduloms yra nevienodas (Ranatunga, 1984; Bottinelli et al., 1996).

Šio darbo tikslas – išsiaiškinti šilumos bei šalčio poveikį raumens kontraktinėms savybėms.

1. LITERATŪROS APŽVALGA

1.1. Raumens susitraukimo ir atsipalaidavimo mechanizmai

Raumens susitraukimas vyksta pagal slenkančių siūlų (filamentų) mechanizmą, t.y. miozino skersiniai tilteliai, sukimba su aktino siūlais ir įtraukia juos į sarkomerų vidų. Ši raumens susitraukimo slenkančių filamentų teorija buvo pasiūlyta 1954 m. dviejų mokslininkų Hugh Huxley ir Andrew Huxley. Ji dabartiniu metu yra papildyta ir plačiai aprobuota (Brenner, 1988; Cecchi, Lombardi, Menchette, 1984; Pollack, 1990).

Skiriame šie miozino tiltelių darbo ciklo etapai:

1. miozino galvutės atsijungimas nuo aktino;
2. adenozintrifosfato (ATP) hidrolizė, kurios metu ant miozino susidaro adenozindifosfatas (ADP) ir neorganinis fosfatas;
3. silpnos miozino tiltelių sukibimo su aktinu būsenos susidarymas, jei yra pakankamas kiekis kalcio (Ca) jonų kad sukeltų konformacinius pakitimus aktino filamentuose;
4. miozino tiltelių sukamasis judesys ir stiprios jungties būsenos susidarymas su aktinu, kai atsijungia neorganinis fosfatas;
5. ADP molekulės numetimas, stiprios miozino galvutės sukibimo su aktinu būsenos susidarymas su aktinu, kai atsijungia neorganinis fosfatas;
6. ATP molekulės prisijungimas prie miozino galvutės ir skersinių miozino tiltelių silpnos sukibimo su aktinu būsenos sudarymas, rigoro komplekso sudarymas;

Vidulastelinė Ca jonų koncentracija, reguliuodama aktino filamentų pakitimus nulemia neorganinio fosfato atsijungimo nuo miozino galvutės ir miozino sukibimo su aktinu silpnos būsenos perėjimo į stiprią greitį. Nustatyta, kad miozino tiltelis, traukdamas vieno ciklo metu aktino filamentus, atlieka apie $50 \times 10 - 20$ -tuoju J darbą (Brenner, 1988).

Raumens susitraukimo ir atsipalaidavimo etapai:

1. motoneuronų sujaudinimas;
2. veikimo potencialas plinta motoneurono aksonu į raumenines skaidulas;
3. nervo-raumens sinapsėje veikimo potencialas sukelia acetilcholino išsiskyrimą, kuris nulemia galinės plokštelių potencialo susidarymą postsinapsinėje membranoje;
4. galinės plokštelių potencialas sukelia sarkolemos veikimo potencialą, kuris plinta raumeninės skaidulos membranos paviršiumi apie 6 m/s greičiu ir patenka į skersinių vamzdelių T-sistemą;

5. veikimo potencialas T-sistema patenka iki šių potencialų valdomų Ca jonų kanalų (dihidropiridino receptorių), kurie mechaniniu būdu per "pėdos" struktūrą dėl konformacinių pakitimų atidaro sarkoplazminio tinklo Ca jonų kanalus (rianodinių receptorių) (Rios, Pizzaro, 1991);
6. atsidarius Ca jonų kanalam, Ca jonai pagal koncentracijos gradientą difunduoja iš sarkoplazminio tinklo į sarkoplazmą, supančią miofibriles, ir daug kartų padidina vidulastelinę Ca jonų koncentraciją: nuo 10^{-7} mol/l iki 10^{-5} mol/l, ypač padidėja Ca jonų koncentracija aktino ir miozino filamentų srityje (Robertson, Johnson, Potter, 1981);
7. dauguma Ca jonų labai greitai sukimba su troponinu-C (TnC) (viena TnC molekulė gali prisijungti iki 4 Ca jonų), pakinta viso troponininio komplekso erdinė struktūra, pašalinamas slopinamasis troponino I poveikis, tuo pat metu per troponiną-T perduodamas signalas tropomiozinui ir visas troponino-tropomiozino kompleksas pasislenka į įdubimą tarp dviejų aktino grandžių, užleisdamas vietą miozino galvutei (dalies Ca jonų sukimba su parvalbuminu) (Brenner, 1988; Haiech, Derancourt, Pechere et al., 1979; Pollack, 1990);
8. susidaro miozino ir aktino skersiniai tilteliai, kurių sukimieji (rotacioniai) judestiai sukelia sarkomerų ir kartu visos raumeninės skaidulos (RS) susitraukimą bei jėgą, įvyksta raumeninės skaidulos citoskeleto deformacijos procesai (Brenner, 1988).

Raumens susitraukimo procesai, vykstantys nuo veikimo potencijalo susidarymo sarkolemoje iki raumens jėgos sustiprėjimo, vadinami elektromechaniniu ryšiu (Rios et al., 1991).

Vykstant raumens atsipalaidavimui Ca jonai sukimba su parvalbuminu ir dėl Ca siurblio grąžinami į sarkoplazminį tinklą, lašteliuje sumažėja laisvų Ca jonų koncentracija iki 10^{-7} , tada tropomiozinės užblokuoja aktyviąsias aktino vietas ir, jei tarp miofibrilių yra pakankamas ATP kiekis, įvyksta raumens atsipalaidavimas (Rall, 1990; Westerblad, Lee, Lannergren, Allen, 1991). Dėl ilgiau trunkančio raumeninės laštelių darbo (krūvio), priklausomai nuo jo intensyvumo, gali sumažėti ATP kiekis, dėl ko Ca jonų koncentracijos mažėjimo tempai sulėtėja, kas neišvengiamai sukelia kontraktolinių elementų atpalaidavimo pailgėjimą. Tai akivaizdžiai pastebima raumenų nuovargio fone.

Taigi raumens susitraukimas ir atsipalaidavimas yra skirtinių procesai.

1.2. Raumens aktyviosios mechaninės savybės

1.2.1. Priklausomybė „raumens susitraukimo greitis – jėga“

Priklausomybė tarp raumens susitraukimo maksimalaus greičio ir susitraukimo jėgos yra hiperbolės formos (Fitts, McDonald, Schulter, 1991; Winters, Woo, 1990; Westerblad et al., 1991). Didelį svorį raumuo gali pakelti tik susitraukdamas nedideliu greičiu, o maksimalus susitraukimo greitis užfiksujamas, kai raumuo susitraukia be jokio papildomo svorio. Atliekant judesį labai dideliu greičiu, nespėja sukipti daug miozino skersinių tiltelių su aktinu, todėl ir pasiektoji jėga yra labai maža.

Raumens susitraukimo galingumas yra lygus susitraukimo jėgos ir greičio sandaugai arba atliktam darbui per laiko vienetą. Kai raumuo susitraukia izometrinėmis sąlygomis, susitraukimo greitis lygus nuliui, todėl ir raumens darbas neatliekamas. Raumuo pasiekia didžiausia galingumą, kai išorinis pasipriešinimas yra apie trečdalį maksimalios izometrinės jėgos (raumenų, kuriuose vyrauja greitojo susitraukimo raumeninės skaidulos, galingumo kreivė pasilenka į dešinę).

1.2.2. Priklausomybė „raumens susitraukimo jėga – laikas“

Raumens susitraukimo jėgos dydis priklauso ne tik nuo keliamo svorio ar raumens ilgio, bet ir nuo aktyvavimo trukmės, kuri reikalinga Ca jonų koncentracijai padidinti ir raumens pasyviajai jėgai įveikti (Winters et al., 1990). Veikimo potencialas, kylantis raumeninės skaidulos sarkolemoje, užtrunka apie 5-7 ms, Ca jonų išmetimo maksimalus intensyvumas pasiekimas per 10-20 ms, o raumens jėga pasireiškia tik po 20-30 ms nuo veikimo potencailo aktyvinimo pradžios. Taigi stebimas latentinis periodas, kurio trukmė apima tarpsnį nuo sarkolemos depolarizavimo iki raumens jėgos atsiradimo pradžios.

Dirginant raumenį nedideliu dažniu, po kiekvieno raumens susitraukimo būna visiškas atsipalaidavimas, todėl raumuo įgyja atskiro susitraukimo formą. Dirginant raumenį didesniu dažniu, raumuo nespėja atsipalauduoti, todėl raumens vienkartiniai susitraukimai sumuojas ir raumens darbas įgauna dantytojo ir lygiojo tetanuso formas. Vis dėlto, atliekant judesį RS beveik visada susitraukia dantytuoju tetanusu, tačiau dėl raumeninių skaidulų asinchroniško darbo visas raumuo susitraukia tolygiai (Fitts, 1994).

1.3. Raumens pasyviosios mechaninės savybės

1.3.1. Priklausomybė „raumens jėga – ilgis“

Raumuo, panašiai kaip spyruoklė ar amortizatorius, pasižymi elastingumu ir klampumu (Fitts et al., 1991; Wang, McLure, Tu, 1979). Tai priklauso nuo nuosekliųjų ir lygiagrečiųjų raumens elastinių komponentų, kuriuos formuoja raumeninės skaidulos sarkolema, citoskeletas, sarkoplazminio tinklo vamzdeliai, miozino ir aktino filamentai, jungiamojo raumens audinio trijų sluoksnių plėvelės ir sausgyslė. Miozino ir aktino filamentai formuoja aktyvujį raumens jėgos stiprumo, o visi kiti pasyvujį raumens pasipriešinimo jo ilgio kitimui komponentus.

Sukamojo judesio jėgos momentas, kurį sudaro raumens išvystomas jėgos ir jėgos peties sandauga, kinta keičiant raumens ilgi ar sąnario kampą. Tai priklauso nuo šių faktorių:

1. Miozino ir aktino filamentų (aktyviojo raumens sustiprėjimo komponento) persidengimo sarkomere. Sarkomerai pasiekia didžiausią jėgą, kai jų ilgis siekia apie 2,20-2,30 μm , nes tada susidaro daugiausia skersinių miozino tiltelių su aktinu. Labai didelio ištempimo (virš 3,6 μm) ar didelio ilgio sumažėjimo (trumpiau nei 1,65 μm) atvejais sarkomerų sukeliamą jėga sumažėja. (Fitts et.al., 1991).
2. Pasvyrojo raumens pasipriešinimo. Ištempiant raumenų iki didesnio nei ramybės ilgio, atsiranda pasyvusis raumens pasipriešinimas. Atliekant normalius įprastus judesius, raumens darbo ilgis kinta funkcinės ramybės ilgio ribose.
3. Raumens jėgos peties (Winters et al., 1990), t.y. trumpiausio atstumo nuo atramos taško iki jėgos veikimo linijos. Jis kinta keičiant sąnarių kampą. Sąnario kampus, prie kurio pasiekiamas didžiausias jėgos momentas, ne visada sutampa su raumens funkcinės būklės ilgiu, t.y. kintant raumens ilgiui nevienareikšmiškai kinta jėgos momentas.
4. Raumens susitraukimo tipo (Fitts et al., 1991). Raumens susitraukimo jėga priklauso ne tik nuo raumens ilgio, bet ir nuo jo kitimo tipo (ilgėjimo ar trumpėjimo) bei kitimo greičio. Didžiausią jėgą raumuo įgyja ekscentrinio susitraukimo metu, t.y. net apie du kartus didesnę nei izometrinio susitraukimo metu.

1.4. Biomechaniniai ir fiziologiniai veiksniai, lemiantys šoklumą

1.4.1. Šoklumą lemiantys faktoriai

Net pats paprasčiausias, nereikalaujantis didelių koordinacinių sugebėjimų bei įgūdžių, šuolis į aukštį iš vienos priklauso ne tik nuo asmens raumenų (periferinių veiksnių), bet ir nuo centrinės nervų sistemos (CNS) valdymo mechanizmų dirginimo (Верхощанский, 1977; Viitasalo, Bosco, 1982; Schmidt, 1988; Skurvydas, Mamkus, 1990). Be to, tų pačių, bet skirtingais būdais atliekamų šuolių didžiausias indėlis gali būti nevienareikšmis (Верхощанский, 1977; Bosco et al., 1983a, 1983b, 1984, 1986; Schmidbleicher, Gollhofer, Frick, 1987; Skurvydas, Stasiulis, Vilčinskas, 1988; Komi, 1992; Hakkinen, 1994), nors manoma, kad net ir skirtingais būdais atliekamų šuolių motorinė programa (valdoma galvos smegenų motorinių darinių) yra, jei ne tokia pat, tai labai panaši (Гурфинкель, Левин, 1985; Schmidt, 1988). Šoklumas – tai daugialypė fizinė ypatybė, apibūdinama daugelio veiksnių, kuriuos būtų galima įvardinti kaip:

Periferinius raumenų veiksnius:

1. Raumenų kompozicija. Žmogaus skeleto raumenų skaidulos yra mišrios sudėties. Vienuose yra daugiau lėtai susitraukiančių (LLV), kituose – greitai susitraukiančių (GGV), o dar kituose – ir tokiu ir tokiu po lygiai. Nevienodas greitujų ir lėtuju RS jautrumas hormonų poveikiui: gausėjant katecholaminų kiekiui, didėja greitujų RS susitraukimo jėga, o lėtuju ji gali net sumažėti (Виру, Куре, 1983). Kuo daugiau raumenyse greitai susitraukiančių raumeninių skaidulų, tuo geresnis tiriamujų šoklumas (Bosco et al., 1983a, 1983b; Ящанинас, 1983; Саплинскас, 1985; Hakkinen 1994).

2. Už raumenų susitraukimą atsakingų struktūrų kiekis. Raumenų susitraukimo efektyvumą lemia šie struktūros elementai: 1) fermentų natrio, kalio-ATF-azės, Ca-ATF-azės, miozino ATF-azės, magnio-ATF-azės kiekis; 2) raumeninėje skaiduloje esančių sarkomerų skaičius ir ilgis, raumeninės skaidulos ilgis; 3) raumeninių skaidulų skaičius viename motoriniame vienete; 4) miofibrilių storis ir kiekis - kuo daugiau greitosiose RS yra miofibrilių tuo didesnį galingumą įgyja raumuo (Яковлев, 1974; Гурфинкель, Левин, 1985; Astrand, Rodahl, 1986; Fitts et al., 1991; Goldspink, 1992; Enoka, 1994); 5) T-sistemos sarkoplazminio retikulumo kiekis; 6) raumens elastinio komponento kiekis.

3. Fundamentalios RS susitraukimo charakteristikos. Jėga – ilgis ir jėga – greitis. Raumens susitraukimo (sutrumpėjimo) ar ištempimo ilgis arba pritupimo gylis. Ilgėjant raumeniui iki optimalaus dydžio, didėja to raumens jėga. Raumens jėgos priklausomybė nuo jo ilgio ir greičio lemia raumens jėgos generavimo plastiškumą, efektyvumą bei ekonomiškumą.

4. Raumenų ir sausgyslių elastingumas (Bosco et al., 1982, 1983b, 1984). Raumuo, panašiai kaip spyruoklė ir amortizatorius, pasižymi elastingumu ir klampumu (Fitts et al., 1991; Wang et al., 1979). Raumens elastingumas priklauso nuo jo nuoseklių ir lygiagrečių elastinių komponentų, lygiagretus elastinis komponentas – nuo raumens skaidulų sarkolemu, fascijų ir jungiamujų audinių mechaninių savybių, o nuoseklus elastinis komponentas – nuo sausgyslių ir aktino miozino tiltelių tamprumo (Skurvydas et al., 1995). Raumenų elatinėms savybėms nemažos įtakos turi aktino-miozino tiltelių susijungimo ir atsipalaidavimo laikas, kuris GGV RS yra apie 15 kartų trumpesnis negu LLV. Ištempiant raumeninę skaidulą, išitempia aktino-miozino tilteliai ir taip sukaupiama elatinė potencinė energija. Atsipalaidavus (trūkus) aktino-miozino tilteliams dėl ilgo ar staigaus skaidulų ištempimo, sukaupta elatinė energija gali pereiti į šiluminę ir tuo pačiu gali sumažėti mechaninio darbo galingumas. Kuo greičiau pereinama nuo raumens ištempimo prie jo susitraukimo, tuo efektyviau panaudojama elatinė ir mioelektrinė energija. (Skurvydas et al., 1995). Miozino ir aktino filamentai formuoja aktyvujį raumens jėgos stiprumo, o visi kiti pasyvujį raumens pasipriešinimo jo ilgio kitimui komponentus. Pavyzdžiui, kuo elastingesnis raumuo, tuo daugiau elatinės energijos sukaupiama amortizuojamai pritūpiant, o tai lemia atliekamo šuolio dydį. Manoma, kad dėl raumenų ir sausgyslių elastingumo, šoklumo savybės gali pagerėti apie 15 – 40 % (Bosco, Rsko, 1983c).

5. Biomechaniniai faktoriai. Raumenų susitraukimo greitis bei jėga gali skirtis apie 10 kartų, priklausomai nuo ilgio, RS tvirtinimosi prie sausgyslių kampo ir sausgyslių tvirtinimosi prie kaulo jėgos sverto peties ilgio. Jeigu RS tvirtinasi tam tikru kampu, raumuo išvysto didesnę jėgą (Enoka, 1994). Vaino pasiūlytame naujame biomechaniniame skeleto raumens modelyje, yra akcentuojama raumens perėjimo į sausgyslę struktūriniai ypatumai. Raumenys yra padengti jungamuju audiniu, kurį sudaro kolageninių ir elastinių skaidulų tinklas, kurios betarpiskai jungiasi su sausgysle. Miofibrilės tiesiogiai nedalyvauja perduodant mechaninę energiją iš raumens į sausgyslę. Susitraukiant arba ištempiant raumeniui, išsilygina kolageninių skaidulų gofroutumas. Kuomet raumuo yra visiškai ištemptas, gofroutumas visiškai išnyksta, kolageninės skaidulos ištemptos, ir tolesnis įtampos augimas sukelia plastinę deformaciją. Iš viso to seka, kad paskutiniu atveju kolageninių skaidulų įtampa persiduoda sausgyslei 94 %. Raumens išvystoma jėga yra maksimali, o prieš tai raumenyje vyksta kolageninių skaidulų gofroutumo deformacijos akumuliacija, priklausomai nuo jų standumo. Akumuliuojant tokio pobūdžio deformacijos energiją be abejonių dalyvauja miozino tilteliai ir tamprioji titino filamentų dalis. Atliekant pasyvų raumens ištempimą, miozino tiltelių įtaka yra minimali (Vain, 1985).

Paminėtini šie nerviniai veiksniai:

1. Motorinės programos įgyvendinimo efektyvumas. Jei sportininkas yra reikiamai susikaupęs ir turi motyvaciją, tai motoriniai centrali gali intensyviau siusti nervinius impulsus į alfa

motoneuronus (Schmidt, 1988). Dėl šios priežasties didėja motoneuronų impulsavimo dažnis, vyksta jų mobilizaciją skatinantys procesai, tap pat didėja motoneuronų aktyvumo sinchronizacija.

2. *Motorinės programos sudarymo tikslumas*. Nuo jos priklauso agonistų, synergistų, antagonistų, rankų ir kojų raumenų koordinacija, kuri padeda geriau atlikti šuolį (Sale, 1988; Schmidt, 1988; Skurvydas et al., 1988, 1990).

Gali būti šie refleksiniai veiksniai:

1. *Sausgyslių ištempimas*. Sausgyslėse glūdi Goldžio receptoriai, kuriuos sužadinus prislopinamas motoneuronų aktyvumas (Гурфинкель, Левин, 1985; Schmidbleicher et al., 1987; Skurvydas et al., 1990; Komi, 1992). Kai sausgyslėse sužadinama daugiau Goldžio receptorinių, tai gali silpnėti šoklumo savybės.

2. *Raumeninių verpsčių ištempimo ilgis bei greitis*. Jas ištempiant, per afferentus yra žadinami motoneuronai, kurie didesniu dažniu aktyvuojant RS (Гурфинкель, Левин, 1985; Bosco, Tihanyi, Latteri, Fekete, Apor, Rusco, 1986; Skurvydas et al., 1988; Komi, 1992; Hakkinen, 1994). Be to, ištempiant raumenines verpstones rekrutuojama daugiau motorinių vienetų.

1.4.2. Šoklumo fiziologiniai pagrindai

Sutinkami šie pagrindiniai raumens susitraukimo tipai: izometrinis (raumuo įgyja jėgą, tačiau jo ilgis nekinta) ir dinaminis (raumuo įgyja jėgą, kintant raumens ilgiui). Dinaminis susitraukimo tipas skirtomas į: koncentrinį (raumuo trumpėja) ir ekscentrinį (raumuo ilgėja). Pagal tai, kaip kinta susitraukimo metu raumens ilgis ir jėga, koncentrinis susitraukimas skirtomas į: izokinetinį (sukamasis judesys sąnaryje atliekamas pastoviu greičiu), izotoninį (tai tik laboratorinėmis sąlygomis demonstruojamas susitraukimas, kai raumuo susitraukia ir jo jėga nekinta). Net vieno atliekamo judesio metu raumuo gali susitrauktį skirtingais tipais, pvz., šuolio metu stebimas ekscentrinis, izometrinis ir koncentrinis susitraukimas (Komi, 1992).

Tipinis ekscentriniių-izometriniių-koncentriniių raumenų darbo pavyzdys yra šuolis į aukštį iš vienos su amortizuojančiu pritūpimu. Tokių pratimų yra nedaug.

Raumens sprogstamojo susitraukimo fiziologiniai mechanizmai izometrinio ir koncentrinio darbo metu skiriasi. Koncentrinio raumens susitraukimo metu didelę reikšmę turi skeleto raumenų elastinio komponento panaudojimas. Elastiniai komponentai turi didelę įtaką raumens susitraukimo greičiui. Šią funkciją reguliuoja raumeninės verpstės bei Goldžio aparatas. Vienos jų dalys labiau reaguoja į jėgos pokyčius, kitos į greičio ir pagreičio. Ekscentrinio raumens susitraukimo metu pastebimas mažesnis Goldžio organų ištempimas ir tuo pačiu mažesnis motorinių vienetų veiklos slopinimas, nei izometrinio darbo metu. Ekscentrinio susitraukimo metu ištempiamos raumeninės

verpstės, kurios suaktyvina papildomą motorinių vienetų kiekį. Todėl ekscentrinio darbo metu išvystoma didesnė maksimali jėga. Tai paaiškinama elastinių ir mioelektrinių faktorių įtaka tokio tipo raumens susitraukimui. Po raumens ištempimo padidėja atliekamo darbo galingumas. Tempimo reflekso dydis priklauso nuo raumeninių verpsčių ištempimo greičio, pagreičio jėgos: tempimo refleksas pasireiškia tuo labiau, kuo didesniu greičiu ištempiamos raumeninės skaidulos. Sugebėjimas panaudoti tempimo refleksą ir raumenų elastingumą ištempiant raumenines skaidulas priklauso nuo temperatūros. Pvz., padidinus raumenų temperatūrą 10° C, jų susitraukimo galingumas padidėja apie 4 kartus. Tempimo reflekso panaudojimo galimybės priklausi ir nuo raumeninių skaidulų ištempimo ilgio, elastinės energijos panaudojimo.

Kuo greičiau pereinama nuo raumens ištempimo prie jo susitraukimo, tuo efektyviau panaudojama sukaupta elastinė ir mioelektrinė energija.

Raumenų reaktyvumas: skiriasi nuo sprogstamosios jėgos. Kuo greičiau pereinama nuo ekscentrinių prie koncentrinių susitraukimų, tuo didesnis raumenų reaktyvumas. Čia svarbiausia atsispyrimo greitis. Vertikalaus šuolio atsispiriant abiem kojom iš vienos aukštis priklauso nuo vertikalaus atsispyrimo greičio. Maksimali atsispyrimo jėga, o tuo pačiu ir vidutinė jėga tuo didesnė, kuo iš mažesnio pritūpimo kampo atliekamas šuolis. Raumenų elastingumas ir sugebėjimas panaudoti mioelektrinę energiją ištempiant raumenines skaidulas labai padidina raumenų susitraukimo jėgą.

Atliekant šuolius iš žemo pritūpimo (koja sulinkus iki 90° kampo per kelio sąnarij), atsispyrimo laikas pailgėja daugiau negu sumažėja vidutinė atsispyrimo jėga. Dėl to tokio šuolio aukštis dažnai būna didesnis, negu šuolio atliekamo iš mažo pritūpimo kampo (135°) manoma, kad žemę pritūpimą metu labiau panaudojama lėto tipo raumeninių skaidulų sukaupta elastinė ir mioelektrinė energija, o trumpą ir staigū pritūpimą metu – greitą raumeninių skaidulų ir motorinių vienetų energija.

Greito tipo raumeninių skaidulų atlieka didžiausią darbą tokį šoklumo pratimą metu, kur reikalingas didelis raumens susitraukimo greitis. Atliekant dideliu greičiu šoklumo pratimus arba pratimus, reikalaujančius greito raumens ištempimo ir susitraukimo, lėtos raumeninės skaidulos gali net trukdyti greitom raumeninėm skaidulom realizuoti savo galimybes. Greito tipo raumeninių skaidulų staigus ištempimas gali turėti efektą raumens susitraukimo galingumui.

Pasirodo, kad naudojant raumenų elastinę ir mioelektrinę energiją, labiau padidėja šuolio atsispyrimo galingumas negu jėgos impulsas. Didžiausias raumenų reaktyvumas pastebimas atliekant šuolį į aukštį iš vienos nuo paaukštinimo ir amortizujant iki 135° kampo per kelius. Pats mažiausiai raumenų reaktyvumas pastebimas atliekant šuolius su įvairiais pasunkinimais, pritupiant iki 90° per kelius. Reaktyvesnės yra greito tipo raumeninės skaidulos dėl didelio raumenų

susitraukimo ir ištempimo greičio, tačiau geriau panaudojamos lėto tipo raumeninių skaidulų elastinės savybės.

Kuo daugiau skeleto raumenyse vyrauja greito tipo raumeninės skaidulos, tuo didesnis šuolio aukštis, atsispyrimo jėga ir vidutinis galingumas vienam kūno kilogramui.

Šuolio sėkmę priklauso ir nuo elastinės ir mioelektrinės energijos panaudojimo. Sugebėjimas panaudoti šią energiją atliekant šuolį į aukštį iš vietas pritupiant iki 135° kampo per kelius gerai koreliuoja su Greito tipo raumeninių skaidulų procentiniu kiekiu. Tarp sugebėjimo panaudoti raumenų elastinę ir mioelektrinę energiją pritupiant iki 90° kampo per kelius ir Greito tipo raumeninių skaidulų procentinio kieko yra neigiamas koreliacinis ryšys. Raumenų reaktyvumas ir tuo pačiu šuolių aukštis priklauso nuo pritūpimo laipsnio ir greičio, o tai savo ruožtu lemia raumenų kompozicija, lėtų ir greitų raumeninių skaidulų reaktyvumas tarpusavy nesusiję.

Didžiausią prognozuojamąjį informatyvumą turi šuolis į aukštį iš vietas, pritupiant iki 135° kampo per kelius, raumens susitraukimo greičio indeksas, greitų ir lėtų raumeninių skaidulų reaktyvumas ir elastingumas (Skurvydas et al., 1995).

1.5. Temperatūros poveikis raumens funkcijai

Prieš pradedant fizinę veiklą reikia atliliki pramankštą, nes ji turi reikšmingą įtaką nuo temperatūros priklausantiems fiziologiniams procesams (Enoka, 1994). Optimaliausia šilto vandens temperatūra laikoma iki 45°C, o aukštesnė sukelia nemalonius karščio pojūčius ir netgi baltymų degradacijos procesus (Low, Reed, 2000). Panardinus 45 min. galūnes į 44-45°C vandens vonią, raumens temperatūra 3 cm gylyje pakyla 2.7°C, ir šis temperatūros pokytis laikomas fiziologine norma (Sargeant, 1987).

Kai oda gauna šilumos, kraujagyslės plečiasi ir periferinis aprūpinimas krauju auga. Kraujagyslėmis tekantis kraujas sušildomas, taip kad gilesnių struktūrų (tokių kaip raumenys) temperatūra taip pat kyla (Duffield, 1976).

Yra žinoma, kad aukštis, kurį asmuo gali pasiekti atlikdamas vertikalius šuolius, pagerėja po pramankštос (Enoka, 1994). Taip atsitinka dėl to, kad pramankšta padidina maksimaliąją jėgą, kurią raumuo gali išvystyti, ir todėl, kad šuolis priklauso nuo produkuojamos jėgos kieko. Ši šuolio aukščio pagerėjimą po pramankštос salygoja raumenų susitraukimo greičio pagerėjimas dėl temperatūros pakilio.

Pramankšta turi pastebimą efektą temperatūros padidėjimui, o kartu ir fiziologiniams procesams raumenyje. Fiziologiškai pramankšta yra naudinga raumenų žalos profilaktikoje, didinant raumens-sausgyslės elastingumą bei ilgį. Pakilusi kūno vidaus temperatūra greitina deguonies atsiskyrimą nuo hemoglobino ir mioglobino, metabolines reakcijas, kraujo tekėjimo

srovę raumenyse, mažina raumenų klampą, didina veikimo potencijalo sklidimo greitį, deguonies suvartojoimą (Blomstrand et al., 1984; Shellock, Pretince, 1985; Febbraio et al., 1994 a; Koga et al., 1997; Booth et al., 2001).

Raumens šaldymas sumažina raumens susitraukimo jėgą, pailgina atsipalaidavimo trukmę, sumažina raumens susitraukimo galingumą, padidina raumens atsparumą nuovargui (Oksa et al., 1996; Gossen et al., 2001; Nomura et al., 2002).

Raumens susitraukimo greičiui. Raumens vidaus temperatūros padidėjimas turi įtakos maksimaliam raumenų susitraukimo greičiui. Maksimali veikla rodo didelį jautrumą temperatūrai. Lokomocijos mechanizmai – sarkomero ilgio sutrumpėjimas ir grįžimas į pradinę padėtį labai priklauso nuo temperatūros (Ratkevičius et al., 1995). Padidinus raumens temperatūrą 3,1°C, sumažėja raumens susitraukimo laikas ir pusė atsipalaidavimo laiko atitinkamai 7% ir 22%, bet neturi įtakos tetaniniams susitraukimui. Ir priešingai, sumažinus raumens temperatūrą 8,4°C (pamerkiant koją į ledo vonią) raumens susitraukimo laikas padidėja 38%, o pusė atsipalaidavimo laiko 93% (Davies, Young, 1983). Bandymais nustatyta, kad atsipalaidavimo laikas labiau nei jėga priklauso nuo raumens temperatūros. Apibūdinant jėgos ir greičio tarpusavio ryšį matyti, kad temperatūros pakitimai veikia maksimalų susitraukimo greitį, bet ne maksimalią izometrinę jėgą (Binkhorst, Hoofd, Vissers, 1977). Raumenų grupėms, susijusioms su jėgos ir greičio tarpusavio ryšiu, raumens temperatūros kitimo efektas yra ne pakeisti maksimalią jėgą, bet padidinti maksimalų susitraukimo greitį apie 12%, padidinus raumens temperatūrą vienu laipsniu. Todėl galima daryti išvadą, kad trumpalaikių pratimų, kur vyrauja greitumo savybės, pasirodymas pablogėja prie žemos raumens temperatūros ir pagerėja prie temperatūros viršijančios normalią (Berg, Ekblom, 1979; Ranatunga, 1984).

Raumens susitraukimo jėgai. Kai temperatūros pokytis yra reikšmingas, jis gali paveikti maksimalią izometrinę jėgą. Maksimalioji izometrinė rankos raumenų jėga liko palyginti pastovi, esant 25⁰ C šaldymo temperatūrai, bet sumažėjo apie 30%, kada šaldymo temperatūra svyravo nuo 15⁰ C iki 12⁰ C (Ranatunga, 1987). Panašius maksimaliosios izometrinės jėgos kitimus užregistruavo Berg ir Ekblom (1979) tirdami kelio tiesiamuosius raumenis. Jie nustatė, kad kelio tiesiamujų raumenų jėga esant 30,4⁰C buvo 262 N·m, esant temperatūrai 38,5⁰C - 312 N·m, matuojant temperatūrą šlaunies keturgalvio raumens šoninėje galvoje. Šie kitimai darė poveikį ir veiklai: Tiriamieji padidino vertikalaus šuolio aukštį 44% (17 cm) ir maksimalią jėgą mindami veloergometrą 32% (316W), kai temperatūra padidėjo nuo 30,4⁰C iki 38,5⁰C. Galima daryti išvadą, kad raumens atšalimas veikia miofibrilės jautrumą Ca²⁺ jonams (Faulkner, Zerba, Brooks, 1990; Ranatunga, 1989; Jaworowski, Arner, 1998; Ichihara, 1998).

Padidėjus normaliai raumens temperatūrai, ji neturi tiesioginės įtakos raumens išvystomai jėgai, nes pagerėjus raumens susitraukimo – atsipalaidavimo mechanizmui, skersiniai miozino

tilteliai nespėja sudaryti stiprių jungčių, kad išvystyti didelę tetaninę jėgą. Atšalus raumeniui, pablogėjus ATP hidrolizei ir atsipalaidavimui, ne visi miozino skersiniai tilteliai atkimba nuo aktino filamentų, todėl gali būti išvystoma didesnė tetaninė jėga (Davies et al., 1983).

Raumens susitraukimo galingumui. Kalbant apie raumens susitraukimo galingumą nereikėtų pamiršti, kad ji apsprendžia per tam tikrą laiko tarpą išvystyta jėga.

Padidėjusios temperatūros įtaka raumenų galingumui yra teigama. Nustatyta, kad panaudojant pasyvų raumens šildymą, raumuo 3 cm gylyje sušilo iki $39,3^{\circ}\text{C}$, o atšaldžius iki 18°C ir 12°C atitinkamai $31,9^{\circ}\text{C}$ ir 29°C . Taigi po pašildymo raumens galingumas padidėjo 11% lyginant su matavimais normaliomis sąlygomis, tuo tarpu kai atšaldymas 18°C ir 12°C vandens vonioje, sumažino maksimalios jėgos piką ir galingumą atitinkamai 12% ir 24% (Ranatunga, 1998; Sargeant, 1987). Neabejojama, kad aukštis, kurį individas gali pasiekti vertikaliu šuoliu, padidėja po pramankštос, t.y. po temperatūros padidėjimo (Davies, Young, 1985). Temperatūros reikšmė raumenų galingumui (tieki metaboliniams, tieki mechaniniams) reikštu jos poveikį ATP hidrolizei ir resintezei. Teigtina, kad žema raumenų temperatūra sumažina raumenų galingumą (Ranatunga, 1998; Sargeant, 1987; Ferretti, 1992). Manoma, kad raumens susitraukimo izometrinės jėgos ir susitraukimo galingumo (vertikalaus šuolio) sumažėjimas po šaldymo atsiranda todėl, kad sulėtėja aktino- miozino tiltelių sukibimo skaičius ir miozino tiltelių sukibimo su aktinu jėga, dėl sulėtėjusios ATP hidrolizės (Savouvery et al., 1992) ir neorganinio fosfato sumažėjimo (Coupland et al., 2001). Kita priežastis, kodėl šaltas raumuo lėčiau atsipalaiduoja, tai padidėusi vidulastelinė Ca^{2+} koncentracija ir sulėtėjęs Ca^{2+} jonų sugrįžimas į sarkoplazminę tinklą (Hollingworth et al., 1996; Tanaka, 1997; Johnson et al., 1997; van der Heijden et al., 2000).

Raumens atsipalaidavimui. Raumens atsipalaidavimo mechanizme svarbu kaip greitai ir gerai Ca jonai sukimba su parvalbuminu, kaip efektyviai dirba Ca siurblys ir ar tarp miofibrilių yra pakankamas ATP kiekis (Desmedt, 1981; Pette, 1986). Išnagrinėjus keletą tyrimų, kurių metu buvo gryna stebimas raumenų temperatūros poveikis Ca jonų grįžimui į sarkoplazminę tinklą ir jų išmetimui į sarkoplazmą (CICR). Buvo padaryta aiški išvada, kad temperatūra turi įtakos CICR. Temperatūros padidėjimas (nuo 20°C iki 40°C) pagreitina CICR, t.y. Ca jonų iš ir į sarkoplazmą pagerėja, o tai leidžia efektyviai sumažinti laisvą Ca jonų koncentraciją ir tropomiozinui užblokuoti aktyvias aktino vietas (Ichihara, 1998). Parvalbuminas Ca jonus geriau izoliuoja esant aukštesnei raumens temperatūrai (Hou, Johnson, Rall, 1992). Kadangi temperatūros padidėjimas raumenyse pagreitina ATP hidrolizę ir resintezę, vadinasi Ca siurblys ir miofibrilės yra aprūpinamos pakankamu ATP kiekiu (Ferretti, 1992; Ferretti, Ishii, Moia, Cerretelli, 1992). Šaltas raumuo lėčiau atsipalaiduoja todėl, kad yra padidėusi vidulastelinė Ca^{2+} jonų koncentracija (Hollingworth, Zhao, Bayl, 1996; Tanaka, 1997; Johnson, 1997; van der Heijden, 2000) ir sulėtėjęs Ca^{2+} jonų sugrįžimas

į sarkoplazminę tinklą. Todėl galima teigt, kad temperatūros įtaka raumens atsiplaidavimui yra didelė.

Raumens elastinguumui. Pakilus raumens temperatūrai, sausgyslių, raiščių ir jungiamojo audinio galimybė labiau išsitempi padidėja, dėl to pagerėja sąnario judesių amplitudė (Wright, Johns, 1961; Strickler et al., 1990; Kirkendall, Garrett, 2002). Padidėjusi temperatūra gerina raumenų tąsumą, mažina klampumą ir didina galimybę jam būti mažiau išitempusiam. Kolageninis audinys, kuris yra raumenų elastinių komponentų sudedamoji dalis, esant pakilusiai raumens temperatūrai, gali labiau išsitempi (Garrett, 1990). Raumenų standumas, kuris yra priešinga savybė raumenų deformacijai, yra didesnis tada, kai raumuo yra šaltas, t.y. raumens deformacija sumažėja tada, kai raumens temperatūra yra žema (Noonan et al., 1993; Bishop, 2003).

Elastinių komponentų esančių tarp miozino ir aktino siūlų skersinių tiltelių, indėlis sukaupiant elastinę energiją yra didesnis esant žemai raumens temperatūrai, nes tada sumažėja skersinių tiltelių atkibimo greitis (Asmussen et al., 1976). Tai rodo, kad esant žemai raumens temperatūrai ir dideliai raumens deformacijai raumuo geba efektyviau panaudoti elastinę energiją. Kai yra viršijamas audinio ištempimo kritinis lygis pasibaigus ištempimui, audinys negali grįžti į pradinį ilgi ir praranda dalį elastinės energijos. Vertikalaus šuolio aukštis labai sumažėja esant žemai raumens temperatūrai, tačiau ji teigiamai veikia tada, kai šuolis atliekamas nuo pakylos, kai reikalingas didesnis raumens standumas (Asmussen et al., 1976; Komi, Bosco, 1978; Bergh, Ekblom, 1979; Davies, Young, 1985).

Skirtingo tipo raumeninėms skaiduloms. Tiriant žinduolių (žiurkių) raumenų tiek vienkartinio, tiek tetaninio susitraukimo jėgą, maksimalų susitraukimo greitį mažinant raumens temperatūrą ($35 - 20^{\circ}\text{C}$) duomenų skirtumas tarp greitųjų ir lėtujų raumeninių skaidulų nebuvo reikšmingas (Ranatunga, Wylie, 1983; Ranatunga, 1977, 1984).

G. Wang ir M. Kawai (2001), tirdami triušius pastebėjo, kad kai raumuo susitraukia lengvesnėmis sąlygomis, t.y. kai pasipriešinimas raumens viduje yra mažesnis, lėtosios raumeninės skaidulos dirba mažiau efektyviai nei greitosios. Vadinas, esant pakilusiai raumens temperatūrai ir sumažėjus raumens klampai, kartu sumažėjus ir vidinei trinčiai, greitosios raumeninės skaidulos gali susitraukinėti efektyviau. Lėtujų raumeninių skaidulų izometrinis įtempimas padidėjo tada, kai raumens temperatūra pakilo nuo 5 iki 30°C ir pasiekė plato, kai temperatūra buvo 37°C . raumens temperatūrai esant aukštesnei nei 30°C , greitosios raumeninės skaidulos tampa mažiau stabilios, bet šio tipo raumeninių skaidulų skersinių tiltelių kinetinės savybės pagerėja. Skaidulų standumas dėl padidėjusios temperatūros kinta panašiai, bet mažesniais tempais. Triašio lėtosios raumeninės skaidulos turi pranašumą prieš greitąsias, kadangi jos stabilesnės tada, kai temperatūra yra aukštesnė, ir dėl to, kad jos veikia elementariais ciklais, kurie yra $10 - 30$ kartų lėtesni nei greitujų raumeninių skaidulų (Wang, Kawai, 1996, 1997).

1.6. Temperatūros fizioterapinis poveikis

1.6.1 Krioterapija

Šalčio taikymas terapiniai tikslais vadinamas krioterapija, o šalčio ir pratimų kombinacija vadinama kriokinetika. Krioterapija yra paprasta, mobili ir nebrangi skausmą ir raumenų spazmą atsiradusius po traumos, mažinant priemonė, tačiau jos fiziologiniai poveikio mechanizmai nėra pilnai išaiškinti (Craig, 2000).

Šaldymas mažina metabolinį aktyvumą, lastelių deguonies pareikalavimą. Pavišiniuose ir giliuosiuose audiniuose susitraukia kraujagyslės ir sumažėja krauso pratekėjimas.

Šalčio aplikacijos veikia ir nervų sistemą. Iš pradžių juntamas intensyvus šaltis. Jį sekā geliantis šaltis, jaučiamas adatėlių badymas ir galiausiai nutirpimo jausmas. Po kelių šaldymo minučių sumažėja jautrumas, nes sumažėjus laidumui, impulsai neperduodami iš periferijos į jutiminę žievę. Atsiradęs nutirpimas atsirandantis yra vienas iš pirmųjų reabilitacijos tikslų – skausmo sumažėjimas.

Be to, kad mažintų skausmą ir pralaužtų skausmo – spazmo ciklą, šaltis mažina raumens spazmą tiesiogiai veikdamas raumenų verpstes. Raumens verptės reaguoją į raumens ištimpimą. Verpstes įnervuojančios gama eferentinėm skaidulom, tai leidžia verpstei prisitaikyti prie raumens ilgio. Kai atsiranda trauma, kūno atsakas - refleksinis aplinkinių raumenų susitraukimas. Šie nevalingi susitraukimai arba spazmai tarsi įtveria traumuotą plotą ir užkerta kelią tolesniams pažeidimui. Taigi, spazmas sustabdo kraujoplūdį ir apsunkina skausmo – spazmo ciklą. Šalčio aplikacijos sumažina spazmą tiesiogiai ir per refleksinius mechanizmus. Kai šaldoma, raumenų verpstės tampa mažiau jautrios; taip raumuo atsipalaiduoja ir spazmas išnyksta. Krioterapijos antispazminis poveikis yra svarbus veiksnys renkantis metodus skeleto raumenų traumoms gydyti.

Krioterapija gali būti naudojama mažinant skausmą ūmaus uždegimo metu, sumažinti skausmą prieš pratimus, padeda sumažinti chronišką skausmą, iš dalies miofascialinio skausmo sindromą (Craig, 2000).

Krioterapija ir ūmus uždegimas. Ūmaus potrauminio uždegimo metu šaltis sumažina skausmą ir sumažina antrinį audinių pažeidimą. Skausmo sumažėjimas atsiranda dėl sumažėjusio nervinio impulso perdavimo greičio. Klinikiniai stebėjimai ir tyrimai parodo, kad šaltis sumažina antrinį pažeidimą. Knight (1995) antriniam pažeidimui priskyrė lastelių žuvimą dėl hipoksijos. Jis teigė, kad ūmaus uždegimo metu suyra kapiliarai, atsiranda edema, tai sumažina sveikų lastelių oksidavimą ir atsiranda audinio pažeidimai. Audinių šaldymas mažina audinių metabolismą ir taip sumažina deguonies trūkumą. Kai deguonies trūkumas sumažinamas, hipoksijos periodu išlieka

daugiau ląstelių. Jei išlieka daugiau ląstelių, vadinasi mažesnis bendras audinio pažeidimas, greičiau praeina ūmaus uždegimo simptomai ir požymiai, atsistatymas būna greitesnis.

Yra ir kita teorija, aiškinanti antrinį audinių pažeidimą laisvujų radikalų veikimu, tačiau ji nepakankamai įtikinanti.

Krioterapija gydant chronišką skausmą. Krioterapija gali būti efektyvi gydant chronišką skausmą. Asmenims, kenčiantiems dėl miofascialinio skausmo sindromo, apibrėžto, kaip jautrūs trigeriniai taškai, krioterapija siūlo saugų, nebrangų gydymą namų sąlygomis. Trumpas intensyvus šaltis stimuliuodamas gali sumažinti skausmą. Ilgesinis ledo masažas sumažina nervų galų jautrumą ir sumažina afferentinių skaidulų laidumą. Aptirpimo efektas pralaužia lokalų skausmo – spazmo ciklą, ir palengvina miofascialinio skausmo simptomus.

Kriokinetika taip pat gali būti naudojama miofascialinio skausmo gydymui. Gydomieji pratimai, kad atstatyti jadesį, pataisyti laikyseną ir atstatyti neskausmingus funkcinius jadesių modelius, po krioterapijos būna gerai toleruojami.

Šaltis nėra visų nuolatinio skausmo atvejų gydymo priemonė. Nemažai skausmo sindromų gali pasunkėti po krioterapijos; intensyvus šalčio stimulus gali sukelti nepakeliamą skausmą ir pasunkinti problemą (Craig, 2000).

Kriokinetika. Knight (1995) aprašė šalčio aplikacijų taikymą prieš ir pratimų metu ir sukūrė kriokinetikos terminą. Šaltis prieštaringai veikia aktyvius pratimus. Knight apibendrino kelių tyrimų rezultatus ir padarė išvadą, kad maksimali izometrinė ir izotoninė jėgos, bei jų generavimo greitis sumažėdavo, kai raumuo būdavo šaldomas 15 – 18⁰ C. Šaldoma būdavo mažiausiai apie 20 min. Kai kurie tyrinėtojai (Cross, Wilson, Perrin, 1995; Greicar et al., 1996) sako, kad šaltis priešiškai veikia šoklumą ir judrumo veiklą, kai kiti (Evans et al., 1996; Shuler et al., 1996) nenustatė veiklos pokyčių po krioterapijos. Taikant krioterapiją, asmuo turėtų sušildyti raumenis ritmiškais pratimais prieš grįžtant prie aktyvaus, reikalaujančio maksimalių pastangų raumens darbo.

Aukščiau paminėti duomenys gali atrodyti trikdantys, ir iškyla klausimas kada taikyti šaltį susiduriant su aktyviais veiksmais. Asmenys, kuriem taikyta krioterapija greitai vėl gali grįžti prie maksimalių apkrovimų. Tiems, kurie jau galėtų atlikti tokius pratimus, bet turi toliau taikyti šaltį dėl skausmo, rekomenduojama perioduose tarp šaldymo procedūrų atlikti saugius ritmiškus pratimus (Craig, 2000).

Kriokinetika, gydomasis poveikis. Kriokinetika apima šalčio aplikacijas, panardinimą į šaltą vandenį, masažą ledu ir aktyvius pratimus. Šaltis taikomas kol atsiranda nuskausminantis poveikis (10 -15 min.). Kai šaldoma sritis aptirpsta, pradedami atsargūs pratimai.

Kriokinetika gali pagreitinti funkcinį atsistatymą. Galima pralaužti skausmo – spazmo ciklą prieš gydomuosius pratimus. Trauma padidina audinių jautrumą, dėl traumos normalus stresas, gali būti suprantamas kaip skausmingas. Jei rūpestingai kontroliuosime traumuotus asmenis, anksčiau

buvę skausmingi pratimai, taps nebeskausmingi, centrinis nukrypimas bus „perprogramuotas“, ir normalūs, funkciniai judesių modeliai bus atstatyti.

Jei pratimai krioterapijos metu skausmingi, juos reikia nutraukti. Jei pacientas šiuos gydymo būdus taikys pernelyg agresyviai, skausmas, spazmas ir patinimas padidės kitą dieną ir reabilitaciją teks sulėtinti 1 – 3 dienom, kol atsistatys iš naujo pažeisti audiniai. Reabilitacijos pratimų programoje reikėtų laikytis dviejų taisyklių 1) skausmas iškreipiantis normalius judėjimo modelius rodo, kad asmuo dar nėra pasiruošęs pratimams, ir 2) asmuo turi gebeti rytoj padaryti, tai ką jis padarė šiandien (Craig, 2000).

Šaldymo poveikis kolageniniams audiniams. Brodowicz, Welsh ir Wallis (1996) nustatė kad statinis pakinklio raumenų tempimas buvo padidėjo asmenims, kuriem tempimo metu buvo atliekamos ledo aplikacijos, palyginus kurie tempimo pratimus atlikinėjo su šiluminėm aplikacijom, ar be jokių aplikacijų. Tyrėjai mano kad raumeninių verpsčių aktyvumo sumažėjimas dėl šalčio yra įtikinamas paaiškinimas dėl padidėjusio audinių tąsumo. Šalčio taikymas norint palengvinti audinių tempimą vadinamas kriostretčingu (Deltorage, 2002).

Nedaug kas tyrė šaldymo poveikį nuolatiniam audinių prailgėjimui per ar po tempimo. Kai kurie terapeutai pastebėjo, kad nuolatinė linijinė deformacija atsiradusi dėl tempimo gali padidėti jei tempimo jėgos palaikomas kol audiniai šaldomi (Deltorage, 2002). Šis poveikis priskiriamas kolageno mikrostruktūros persitvarkymui prie naujo ilgio. Tiriant peties lankstumą Lentell et al., (1992) nustatė, kad ledo aplikacijos taikomos tempimo metu pailgino plastinio pailgėjimo išlaikymą. Tačiau tai dar reikia įrodyti.

1.6.2. Šilumos terapija

Panašiai kaip ir šaltis, šildymo klinikinė nauda ta, kad sumažinamas skausmas ir raumenų spazmas. Tačiau ir čia, poveikio mechanizmai nėra pilnai išaiškinti.

Skausmo sumažėjimas pritaikius šildymo aplikacijas aiškinamas vartų kontrolės teorija. Vartų kontrolės teorija teigia, kad didelio diametro afferentinių skaidulų indėlis sukelia slopinimą, kai mažo diametro afferentinių skaidulų indėlis palengvina skausmo impulsų perdavimą. Šilumos pojūtis perduodamas mažo diametro skaidulomis (A-delta ir C skaidulos), o ne didelio diametro skaidulomis (A-alfa ir A-beta).

Žinome, kad mažo diametro afferentų indėlis stimuliuoja beta endorfino aktyvaciją. Todėl manoma, ilgesnė stimuliacija (20 - 40 min.) reikalinga sukelti beta-endorfino atsaką. Klinikiniai stebėjimai rodo, kad ši teorija gali būti vertinga. Praktikoje šildymas taikomas 20 -30 min. Klinikiniai stebėjimai rodo, kad trumpesni periodai neduoda norimo rezultato. Pastebėta, kad

šildymas sukelia raminantį poveikį. Tai patvirtina pastarąjį, šilumos nuskausminantį poveikį paaiškinantį mechanizmą.

Mechanizmai, paaiškinantys šilumos antispazminį poveikį, taip pat diskutuotini. Vienas paaiškinimas, kad šildymas pralaužia skausmo – spazmo ciklą, sumažindamas skausmą. Tačiau gali veikti ir kiti faktoriai. Kai taikoma šiluma, raumens verpsčių jautrumas sumažėja, net jei pačios verpstės temperatūra nepakito. Taigi, šildymas gali veikti raumens verpsčių aktyvumą per spinalinius refleksus. Nors ir diskutuotinas, tai kol kas geriausias su šildymu susijusių verpsčių jautrumo sumažėjimo ir spazmo išnykimo paaiškinimas.

Kiti fiziologiniai pokyčiai susiję su šildymu, kaip kad padidėjęs metabolinis aktyvumas, pagreitėjusi apykaita, padidėjęs uždegimas, padidėjęs audinių elastingumas ir sumažėjęs klampumas.

Šildymas dažniausiai naudojamas skausmui sumažinti prieš gydomuosius pratimus. Šildymas gali būti taikomas gydyti sąnario kapsulės laisvumo sumažėjimui (Craig, 2000).

Gydomasis poveikis. Paprastai šalčio aplikacijos taikomos gydant uždegimą tik pirmas tris, keturias dienas. Nors krioterapija kartais tesiama antroje audinių pažeidimų gydimo stadijoje, norint kontroliuoti edemą, ar skausmo – spazmo – skausmo ciklą. Tačiau audinių temperatūros sumažėjimas, susijęs su šalčio aplikacijomis, negali pagreitinti ląstelių atsistatymo. Būtent - fibroplastų dauginimosi ir kolageno sintezės. Taigi, kai susidorojama su hemoragija ir edema uždegimo metu, toliau renkamasis gydymas šiluma. Audinių atsistatymo greitis susijęs su kraujo kiekiu patenkančiu į pažeistus audinius. Pirmoji reakcija į temperatūrą yra padidėjęs kraujo pritekėjimas, išskaitant ir didesnį baltujų kraujo ląstelių dauginimą, padidėjusį fagocitų, deguonies tiekimą ir ląstelių metabolizmą, ir padidėjusį maisto medžiagų tiekimą. Jei šiuos procesus pagreitina gydomasis šildymas, teoriškai jis palengvina audinių gjimo mechanizmą.

Kadangi skirtinį šildymo būdą poveikis yra skirtinas, reikia parinkti būdą atitinkantį pažeidimo gylį. Kad sukelti fiziologinius pokyčius, audinių temperatūra būdavo pakeliama iki $40 - 45^{\circ}\text{C}$. Aukštesnė temperatūra gali pažeisti audinius (Craig, 2000).

Šilumos poveikis kolageniniams audiniams. Audinių temperatūra svarbi norint padidinti lankstumą ir sąnario judesio amplitudę. Nors mokslininkai praneša apie palankius rezultatus naudojant temperatūrą audinių tempimui, tačiau bendros išvados priestarlingos. Lentell et al (1992) teigia, kad sąnario peties padidėjęs mobilumas panaudojus šildymą ir tempimą galimas dėl raumeninių verpsčių slopinimo, sumažėjusio raumenų tonuso, sumažėjusio miofibrilių pasipriešinimo tempimui.

Šilumos ir šalčio poveikis giliesiemis jungiamiesiemis audiniams turi būti atsargiai interpretuojamas. Šie veiksnių padeda taikant nuolatinį tempimą, dėl savo gebėjimo sumažinti raumenų tonusą ir skausmą (Prentice, 1982). Taigi šildymas skatina raumens atsipalaidavimą, kuris

palengvina tamprumo jėgų koncentraciją sutrumpėjusiouose jungiamuojuose audiniuose. Viskoelastinis sausgyslių elgesys, taikant tempimą, gali pakisti audinių temperatūrai esant $37 - 40^0$ C. Atsiranda stresinis atsipalaidavimas ir lėtas audinių pailgėjimas. Kai temperatūra pakyla iki 40^0 C audiniai tampa elastingesni, išvengiama pažeidimų, nes reikalinga mažesnė tempimo jėga. Tai rodo, kaip svarbu kontroliuoti ir audinių temperatūrą ir tempimo jėgą per terapinį tempimą. Jungiamujų audinių nuolatinis prailgėjimas dėl padidėjusios temperatūros priskiriamas daliniams molekulinių kryžminiu ryšių kolageninėje skaiduloje irimui (Deltorage, 2002).

2. TYRIMO TIKSLAS, UŽDAVINIAI, METODAI IR ORGANIZAVIMAS

2.1. Tyrimo hipotezė, tikslas ir uždaviniai

Hipotezė:

Manytume, kad griaučių raumenų kontraktinės savybės pakėlus raumens temperatūrą pagerės, o jai sumažėjus – pablogės.

Tyrimo tikslas:

Ištirti šilumos ir šalčio poveikių griaučių raumenų kontraktinėms savybėms.

Uždaviniai:

- 1) Ištirti griaučių raumenų kontraktinės savybes pakėlus raumens temperatūrą $2,7^0\text{ C}$.
- 2) Ištirti griaučių raumenų kontraktinės savybes sumažinus raumens temperatūrą $7 - 10^0\text{ C}$.
- 3) Išsiaiškinti skirtingos temperatūros įtaką skirtingų tipų raumeninėms skaiduloms.
- 4) Išsiaiškinti skirtingos temperatūros įtaką raumeninių skaidulų elastinės energijos panaudojimui.

2.2. Tyrimo metodo organizavimas, tiriamujų kontingento aprašymas

Tyrimas buvo atliekamas “Žmogaus motorikos” laboratorijoje. Tiriamujų kontingentą sudarė 24 sveiki žmonės, atrankos kriterijų nebuvo (buvo tiriami tiek sportuojantys, tiek nesportuojantys, tiek vyrai, tiek moterys). Tiriamujų skaičius, amžius, ūgio ir kūno masės rodikliai pateikti 1 lentelėje. Tiriamieji buvo supažindinti su vykdomo tyrimo tikslais, taikomais metodais, tyrimo procedūra ir galimais nepatogumais. Atvykę į laboratoriją, prieš testavimą, tiriamieji 10 min sėdėjo ramybės būsenoje. Visi dalyvavo savo noru, bei tiksliai vykdė keliamus reikalavimus.

1 lentelė. Tiriamujų skaičius, amžiaus, kūno masės ir ūgio rodikliai

Rodikliai	Tiriamujų skaičius, n	Amžius, m	Kūno masė, kg	Ūgis, cm
Tyrimas, taikant pasyvų šildymą	12	$21,1 \pm 2,9$	$87,8 \pm 11,6$	$1,83 \pm 0,06$
Tyrimas, taikant pasyvų šaldymą	12	$21,9 \pm 1,98$	$80,3 \pm 13,73$	$1,83 \pm 0,07$

Pasyvaus raumenų šildymo metodika: procedūra atlikta pagal daugelio mokslininkų naudojamą metodiką (Sargeant, 1987): tiriamasis sodinamas 45 min. į $44 \pm 0,1^{\circ}\text{C}$ vandens vonią. Vandens temperatūra visą laiką kontroliuojama vandens termometru. Kojos visą sėdėjimo laiką buvo pilnai panardintos po vandeniu. Remdamiesi šios metodikos autorių duomenimis, žinome, kad šildant raumenį 45 min. 44°C vandenye, raumens temperatūra 3 cm gylyje padidėja apie 3°C .

Pasyvaus raumenų šaldymo metodika: tiriamujų kojos du kartus po 15 min., su 10 min., pertrauka buvo panardinamos į $15 \pm 1^{\circ}\text{C}$ temperatūros vandens vonią (Meeusen, Lievens, 1986; Ducharme, Van Helder, Radomski, 1991; Eston , Peters, 1999). Vandens temperatūra buvo kontroliuojama vandens termometru. Tokiu būdu šaldomų kojų šlaunies keturgalvio raumens vidinė temperatūra sumažėja $7 - 10^{\circ}\text{C}$ (Meeusen, Lievens, 1986).

Šoklumo registravimas: tyrimui buvo naudojama speciali techninė įranga: daugiakomponentinė jėgos platforma “KISTLER“, tipas 9286A, matmenys 40x60, kuri leidžia užregistruoti dinaminius ir pusiau statinius matavimus veikiant bet kurį platformos tašką. Ši, pjezo daviklius turinti platforma, per stiprintuvą sujungta su kompiuteriu. Duomenys apdorojami BIOVARE programa. Užrašoma atramos reakcijos kreivė, ir naudojant programą apskaičiuojamas kūno masės centro greitis, pagreitis, poslinkis, atsispyrimo metu bei atsispyrimo jėga ir galingumas.

Šuolio aukštis buvo skaičiuojamas pagal formulę $h = v^2/2g$ (m) (Komi, Bosco, 1987).

Elastinės energijos kitimas buvo skaičiuojamas pagal šuolio su amortizuojamuoju pritūpimu (hp) ir šuolio be amortizuojamojo pritūpimo (hst), kai nenaudojama ištempimo metu sukaupta energija) aukščio rezultatų santykį (Komi, Bosco, 1978):

Šuolio pritupiant iki 135° kampo raumeninių skaidulų absoliutus elastingumas:

$$M1 = hp135 - hst135;$$

Šuolio pritupiant iki 90° kampo raumeninių skaidulų absoliutus elastingumas:

$$M2 = hp90 - hst90;$$

Šuolio pritupiant iki 90° kampo raumeninių skaidulų santykinis elastingumas:

$$M3 = hp90 - hst90/hp90 * 100\% ;$$

Šuolio pritupiant iki 135° kampo raumeninių skaidulų santykinis elastingumas:

$$M4 = hp135 - hst135/hp135 * 100\% .$$

Šuoliukų atlikimo metodika: Tyrimo procedūros metu tiriamieji atliko šuoliukus su amortizuojančiu pritūpimu (hp), pritupiant iki 90° ir 135° kampo, ir be amortizuojančio pritūpimo (hst), iš statinės padėties pritūpus iki 90° ir 135° kampo. Kiekvieną šuoliuką kartojant du kartus (viso 8 šuoliukai). Visi šuoliukai atliekami rankas laikant ant liemens. Tarp kiekvieno šuoliuko daroma 30 s pauzė (Bosco, 1999). Kai šuolis atliekamas pritupiant iki 90° kampo per kelius, daugiau panaudojamas lėto tipo raumeninių skaidulų elastingumas, pritupiant iki 135° kampo per kelius panaudojamas greito tipo raumeninių skaidulų elastingumas (Skurvydas et al., 1988). Su

šuoliukų atlikimo technika tiriamieji supažindinami iš anksto. Šuoliukai atliekami prieš pasyvų raumenų šildymą ir šaldymą bei po jų. Po šildymo ir šaldymo šuoliai atliekami iš karto, pauzė nedaroma.

Tyrimo eiga:

1. Atliekami visų tipų šuoliukai ant tenzoplatfotmos (8 šuoliukai, 30 s pauzė tarp bandymų).
2. Atliekama pasyvaus raumenų šildymo procedūra (45 min.).
3. Pakartojami tie patys šuoliukai (8 šuoliukai, 30 s pauzė tarp bandymų).

Lygiai tokia pat eiga atliekamas tyrimas ir taikant pasyvų raumenų šaldymą (pasyvus raumenų šaldymas 2x15 min., su 10 min. pertrauka).

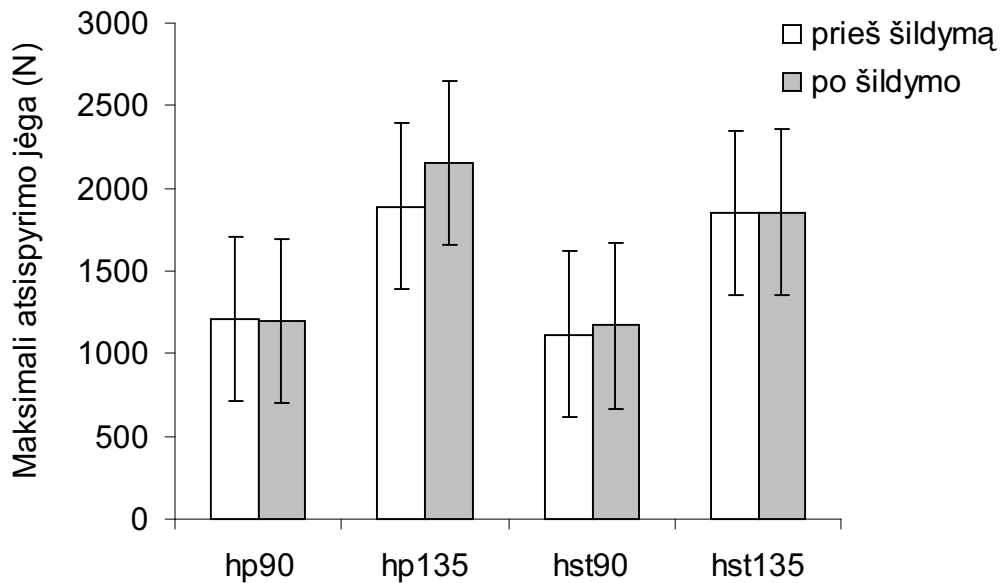
Statistiniai skaičiavimai: analizuojant tyrimo duomenis buvo nustatomas aritmetinis vidurkis, standartinis nuokrypis, procentinis skirtumas bei skaičiuojamas lyginamų dydžių skirtumo patikimumas pagal neparametriinių duomenų Wilcoxon Matched Pairs testą. Pasirinktas 95 proc. patikumo lygmuo ($p<0,05$). Skaičiavimai atliekami naudojantis statistiniu „Microsoft Excel“ paketu ir specialia statistine programa „Statistica“.

3. TYRIMU REZULTATAI IR JU ANALIZĘ

3.1. Tyrimo taikant pasyvų šildymą rezultatai

3.1.1. Šuolio atsispyrimo jėga

Maksimalios atsispyrimo jėgos vidurkis atliekant šuolį be amortizuojančio pritupimo, pritūpus 135^0 kampu (hst135) pašildžius padidėjo. Esant normaliai raumens temperatūrai - $1849,46 N \pm 457,02 N$, po pasyvaus šildymo procedūros - $1853,84 N \pm 420,54 N$ (procentinis pokytis 1,378 %). Tačiau šis skirtumas nėra statistiškai patikimas ($p = 0.638$). Išanalizavus šio tyrimo rezultatus išsiskyrė dvi tiriamujų grupės - vienos (8 atvejai) maksimali jėga padidėjo ($p < 0,05$), kitos (4 atvejai) nepakito ($p > 0,05$). Atliekant šuolį be amortizuojančio pritupimo, pritūpus 90^0 kampu (hst90) maksimali atsispyrimo jėga pašildžius buvo didesnė nei normaliomis sąlygomis, atitinkamai $1167,85 N \pm 252,13 N$ ir $1115,82 N \pm 271,26 N$, (procentinis pokytis 5,93 %). Pokytis statistiškai nepatikimas ($p = 0.075$). Išanalizavus pamatėme, kad maksimali jėga padidėjo 8 atvejais ($p < 0,05$) ir nepakito 4 ($p > 0,05$). Atliekant šuolį su amortizuojančiu pritūpimu, pritupiant iki 135^0 (hp135) kampo atsispyrimo jėga po pasyvaus šildymą padidėjo; prieš šildymą - $1890,11 N \pm 652,69 N$, po šildymo – $2152,28 N \pm 1047,59 N$ (procentinis pokytis 12,054 %). Pokytis statistiškai nepatikimas ($p = 0.071$). 8 atvejais atsispyrimo jėga padidėjo ($p < 0,05$), 4 atvejais nepakito ($p > 0,05$). Atliekant šuolį su amortizuojančiu pritūpimu, pritupiant iki 90^0 kampo (hp90) maksimali jėga buvo lygi $1210,9 N \pm 322,53 N$, po šildymo – $1199,24 N \pm 400,76 N$ (procentinis skirtumas 2,288 %). Šio šuolio maksimali atsispyrimo jėga sumažėjo statistiškai nepatikimai ($p = 0,859$). Išanalizavus tiriamujų imtį, 5 atvejais rezultatai padidėjo ($p < 0,05$), o 6 atvejais sumažėjo ($p < 0,05$). (1 pav.).

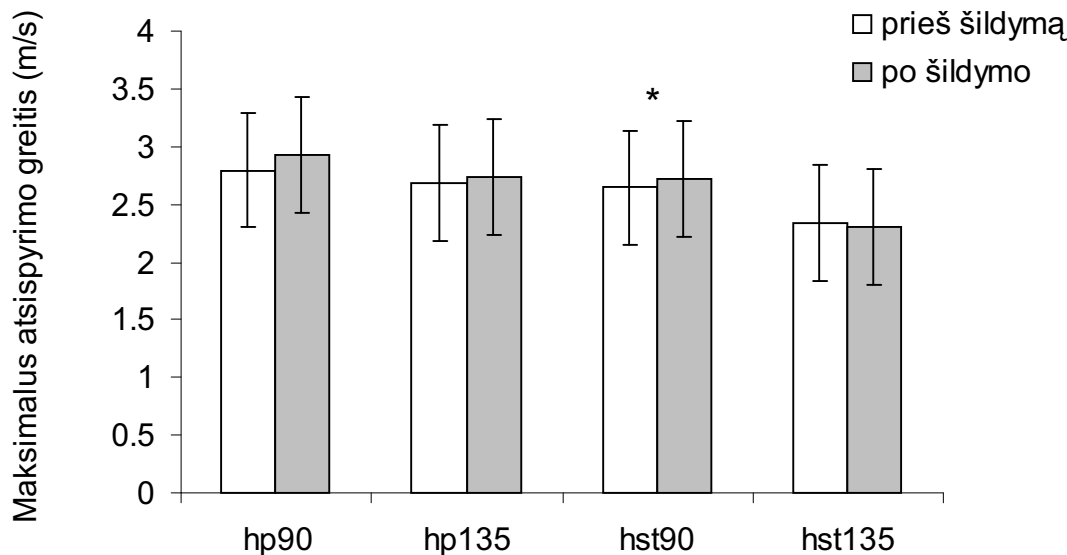


1 pav. Maksimalios atispyrimo jėgos vidurkiai (N) prieš ir po šildymo

Trumpinimai. hp90 – šuoliuko su amortizuojančiu pritūpimu iki 90^0 kampo rezultatai; hp135 – šuoliuko su amortizuojančiu pritūpimu iki 135^0 kampo rezultatai; hst90 – šuoliuko be amortizuojančio pritūpimo, iš 90^0 kampo rezultatai; hst135 – šuoliuko be amortizuojančio pritūpimo, iš 135^0 kampo rezultatai.

3.1.2. Šuolio atispyrimo greitis

Atliekant šuolį be amortizuojančio pritūpimo, pritūpus 135^0 kampu (hst135) makismalaus atispyrimo greičio vidurkis pašildžius sumažėjo. Prieš šildymą - $2,344 \text{ m/s} \pm 0,557 \text{ m/s}$, po šildymo – $2,303 \text{ m/s} \pm 0,432 \text{ m/s}$ (procentinis pokytis 0,051 %). Maksimalus atispyrimo greitis nepatikimai sumažėjo ($p = 1$). Išanalizavus imtį, 7 atvejais greitis padidėjo ($p < 0,05$), 5 atvejais sumažėjo ($p < 0,05$). Maksimalaus atispyrimo greičio vidurkis atliekant šuolį be amortizuojančio pitūpimo, pritūpus 90^0 kampu (hst90) po šildymo padidėjo ($p = 0,025$). prieš šildymą - $2,642 \text{ m/s} \pm 0,257 \text{ m/s}$, po šildymo – $2,722 \text{ m/s} \pm 0,302 \text{ m/s}$ (procentinis pokytis 2,957 %). Maksimalus atispyrimo greitis atliekant šuolį su amortizuojančiu pritūpimu, pritupiant iki 135^0 kampo (hp135) po šildymo padidėjo. Prieš šildymą - $2,683 \text{ m/s} \pm 0,244 \text{ m/s}$, po šildymo – $2,732 \text{ m/s} \pm 0,252 \text{ m/s}$ (procentinis pokytis 1,88 %). Pokytis statistiškai nepatikimas ($p = 0,084$). Padidėjo 9 atvejais ($p < 0,05$), nepakito 3 atvejais ($p > 0,05$). Atliekant šuolį su amortizuojančiu pritūpimu, pritupiant iki 90^0 kampo (hp90) atispyrimo greitis prieš šildymą buvo lygus $2,795 \text{ m/s} \pm 0,308 \text{ m/s}$, po šildymo – $2,926 \text{ m/s} \pm 0,256 \text{ m/s}$ (procentinis pokytis 5,65 %). Pokytis statistiškai nepatikimas ($p = 0,071$). Rezultatai padidėjo 9 atvejais ($p < 0,05$), nepakito 3 ($p > 0,05$). (2 pav.).

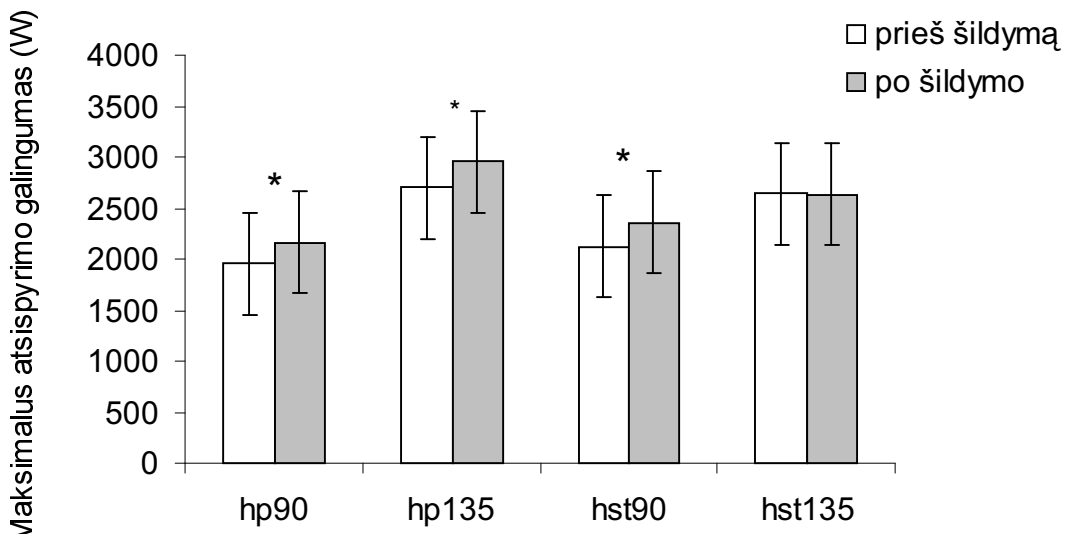


1 pav. Maksimalus atsispyrimo greičio vidurkiai (m/s) prieš ir po šildymo

Trumpinimai. hp90 – šuoliuko su amortizuojančiu pritūpimu iki 90^0 kampo rezultatai; hp135 – šuoliuko su amortizuojančiu pritūpimu iki 135^0 kampo rezultatai; hst90 – šuoliuko be amortizuojančio pritūpimo, iš 90^0 kampo rezultatai; hst135 – šuoliuko be amortizuojančio pritūpimo, iš 135^0 kampo rezultatai; * - $p<0,05$ lyginant reikšmes tarpusavyje.

3.1.3. Šuolio atsispyrimo galingumas

Maksimalaus atsispyrimo galingumo vidurkis atliekant šuolį be amortizuojančio pritūpimo, pritūpus 135^0 kampu (hst135) po šildymo nepatikimai padidėjo ($p = 0.239$), prieš šildymą - $2644,08 \text{ W} \pm 1149,46 \text{ W}$, po šildymo – $2636,89 \text{ W} \pm 801,49 \text{ W}$ (procentinis pokytis 5,269 %). Analizuojant atsispyrimo galingumo rezultatus, imtis išsiskyrė tik šiuo atveju, padidėjo 9 atvejais ($p<0,05$), nepakito 3 ($p>0,05$). Atliekant šuolį be amortizuojančio pritūpimo, pritūpus 90^0 kampu (hst90) maksimalus atsispyrimo galingumas pašildžius padidėjo ($p = 0.006$), prieš šildymą - $2127,28 \text{ W} \pm 551,32 \text{ W}$, po šildymo – $2354,59 \text{ W} \pm 635,9 \text{ W}$ (procentinis pokytis 11,282 %). Atliekant šuolį su amortizuojančiu pritūpimu, pritupiant iki 135^0 kampo (hp135) atsispyrimo galingumas po šildymo padidėjo ($p = 0,05$). Prieš šildymą - $2701,43 \text{ W} \pm 819,97 \text{ W}$, po šildymo – $2955,11 \text{ W} \pm 878,53 \text{ W}$ (procentinis pokytis 9,983 %). Atsispyrimo galingumas atliekant šuolį su amortizuojančiu pritūpimu, pritupiant iki 90^0 kampo (hp90) po šildymo padidėjo ($p = 0,01$), prieš šildymą - $1955,07 \text{ W} \pm 605,28 \text{ W}$, po šildymo – $2165,0 \text{ W} \pm 573,8 \text{ W}$ (procentinis pokytis 13,614 %). (3 pav.)

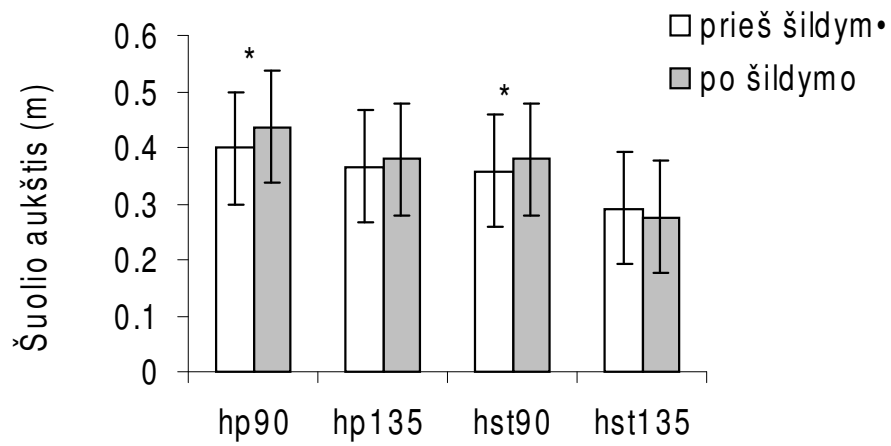


2 pav. Maksimalus atsispyrimo galingumo vidurkiai (W) prieš ir po šildymo

Trumpinimai. hp90 – šuoliuko su amortizuojančiu pritūpimu iki 90^0 kampo rezultatai; hp135 – šuoliuko su amortizuojančiu pritūpimu iki 135^0 kampo rezultatai; hst90 – šuoliuko be amortizuojančio pritūpimo, iš 90^0 kampo rezultatai; hst135 – šuoliuko be amortizuojančio pritūpimo, iš 135^0 kampo rezultatai; * - $p<0,05$ lyginant reikšmes tarpusavyje

3.1.4. Šuolio aukštis

Šuolio aukščio vidurkis atliekant šuolį be amortizuojančio pritūpimo, pritūpus 135^0 kampu (hst135) prieš šildymą buvo $0,268 \text{ m} \pm 0,136 \text{ m}$, po šildymo – $0,274 \text{ m} \pm 0,100 \text{ m}$ (procentinis pokytis 3,886 %). Šio šuolio aukštis po šildymo nepatikimai padidėjo ($p = 0,94$). Išanalizavus rezultatus, aukštis padidėjo 6 atvejais ($p>0,05$), sumažėjo 5 atvejais ($p>0,05$). Šuolio aukštis atliekant šuolį be amortizuojančio pritūpimo, pritūpus iki 90^0 kampu (hst90) po šildymo padidėjo ($p=0,038$) palyginus su šuoliu normaliomis sąlygomis, atitinkamai $0,371 \text{ m} \pm 0,082 \text{ m}$ ir $0,351 \text{ m} \pm 0,066 \text{ m}$, (procentinis pokytis 5,275 %). Atliekant šuolį su amortizuojančiu pritūpimu, pritupiant iki 135^0 kampo (hp135) šuolio aukštis po šildymo nepatikimai padidėjo ($p = 0,065$). Prieš šildymą buvo $0,361 \text{ m} \pm 0,063 \text{ m}$, po šildymo – $0,399 \text{ m} \pm 0,068 \text{ m}$ (procentinis pokytis 9,07 %). Šuolio aukštis padidėjo 7 atvejais ($p<0,05$), 5 atvejais nepakito ($p>0,05$). Atliekant šuolį su amortizuojančiu pritūpimu, pritupiant iki 90^0 kampo (hp90) šuolio aukštis pašildžius padidėjo ($p = 0,041$). Prieš šildymą buvo $0,399 \text{ m} \pm 0,082 \text{ m}$, po šildymo – $0,409 \text{ m} \pm 0,073 \text{ m}$ (procentinis pokytis 7,021%). (4 pav.)



3 pav. Šuolio aukščio vidurkiai (m) prieš ir po šildymo

Trumpinimai. hp90 – šuoliuko su amortizuojančiu pritūpimu iki 90^0 kampo rezultatai; hp135 – šuoliuko su amortizuojančiu pritūpimu iki 135^0 kampo rezultatai; hst90 – šuoliuko be amortizuojančio pritūpimo, iš 90^0 kampo rezultatai; hst135 – šuoliuko be amortizuojančio pritūpimo, iš 135^0 kampo rezultatai; * - $p<0,05$ lyginant reikšmes tarpusavyje.

3.1.5. Lėtosios ir greitosios raumeninės skaidulos

Manoma, kad žemų pritūpimų metu (koja sulinkusi iki 90^0 kampo) labiau panaudojama lėto tipo raumeninių skaidulų sukaupta elastinė ir mioelektrinė energija, o trumpų staigū pritūpimų metu (koja sulinkusi iki 135^0 kampo) – greitų raumeninių skaidulų ir motorinių vienetų energija. Remiantis šiuo teiginiu, galime palyginti temperatūros poveikį skirtingo tipo raumeninėms skaiduloms. Palyginę skirtingų šuolių rodiklių pokyčius po šildymo, matome kad šuolio pritūpiant iki 90^0 kampo rezultatų pokytis buvo reikšmingesnis, nei šuolio pritūpiant iki 135^0 kampo. (2 lent.).

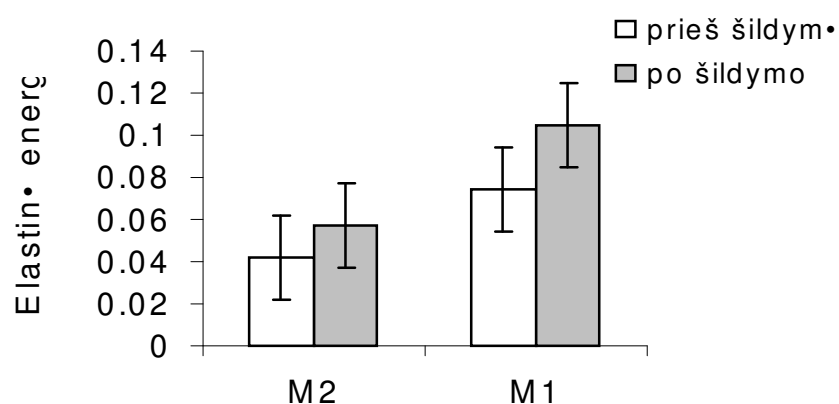
2 lentelė. Šuolių pritūpiant iki 90^0 ir 135^0 kampo rodiklių pokytis po šildymo.

Rodikliai	90^0	135^0
Atsispyrimo jėgos pokytis, %	hst – $5,93 \pm 9,76$ hp – $2,288 \pm 9,54$	hst – $1,38 \pm 11,39$ hp – $12,05 \pm 21,17$
Atsispyrimo greičio pokytis, %	hst – $2,96 \pm 3,7$; p<0.05 hp – $5,65 \pm 14,27$	hst – $0,05 \pm 11,83$ hp – $1,88 \pm 3,42$
Atsispyrimo galingumo pokytis, %	hst – $11,28 \pm 11,87$; p<0.05 hp – $13,61 \pm 16,67$; p<0.05	hst – $5,27 \pm 20,44$ hp – $9,98 \pm 12,92$; p<0.05
Šuolio aukščio pokytis, %	hst – $5,28 \pm 7,636$; p<0.05 hp – $7,02 \pm 7,47$; p<0.05	hst – $3,89 \pm 26,68$ hp – $9,07 \pm 20,14$

Trumpinimai. hst – šuolis be amortizuojančio pritūpimo; hp – šuolis su amortizuojančiu pritūpimu.

3.1.6. Šuolio elastinė energija

Vertikalaus šuoliuko elastinė energija esant normaliai raumens temperatūrai nesiskyrė nuo elastinės energijos, pakėlus kojų raumenų temperatūrą. Lyginant šuoliukus su ir be amortizuojančio pritūpimo, pritūpiant iki 90^0 kampo, prieš šildymo procedūrą M2 (absoliutus elastingumas) buvo $0,04 \pm 0,039$ (M3 - santykinis elastingumas – $9,84 \pm 8,197\%$), po šildymo procedūros M2 - $0,06 \pm 0,081$ (M3 – $12,33 \pm 15,105\%$). Elastinės energijos pokytis po šildymo procedūros nėra reikšmingas ($p=0,64$). Lyginant šuoliukus su ir be amortizuojančio pritūpimo, pritūpiant iki 135^0 kampo, prieš šildymo procedūrą M1 (absoliutus elastingumas) buvo $0,07 \pm 0,117$ (M4 - santykinis elastingumas – $20,811 \pm 28,79\%$), po šildymo procedūros M1 - $0,105 \pm 0,08$ (M4 – $27,64 \pm 20,79\%$). Elastinės energijos pokytis po šildymo procedūros nėra reikšmingas ($p=0,35$). (5 pav.)



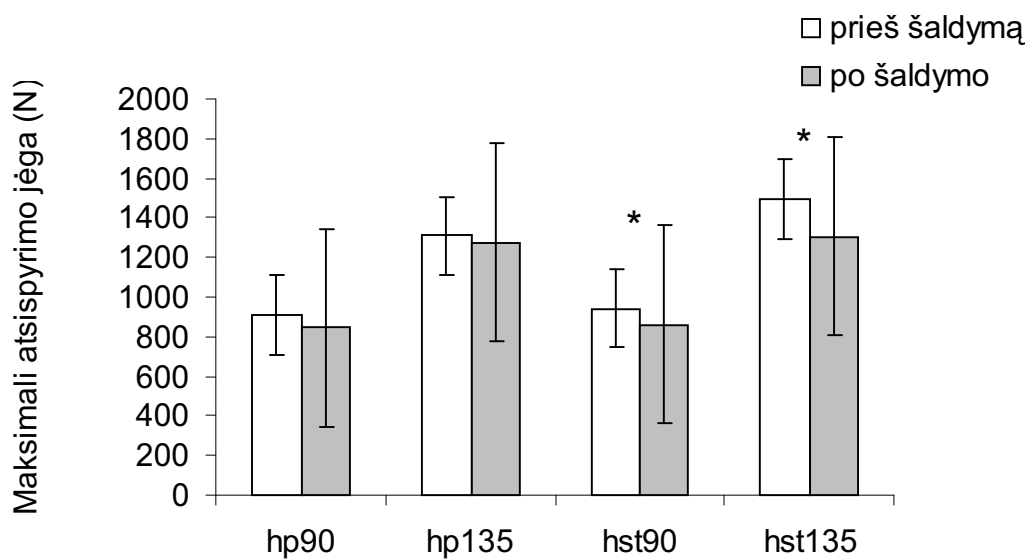
4 pav. Šuoliuko, pritūpiant iki 90^0 kampo, elastinės energijos pokytis prieš ir po šildymo

Trumpinimai. M2 – šuolio pritūpiant iki 90^0 kampo elastinė energija; M1 – šuolio pritūpiant iki 135^0 kampo elastinė energija.

3.2. Tyrimo taikant pasyvų šaldymą rezultatai

3.2.1. Šuolio atsispyrimo jėga

Atliekant šuolių be amortizuojančio pritūpimo, pritūpus 135^0 kampu (hst135) maksimalios atsispyrimo jėgos vidurkis po šaldymo procedūros sumažėjo ($p=0.004$), dydis prieš šaldymą - $1493,65 \text{ N} \pm 321,08 \text{ N}$, po šaldymo $1304,4 \text{ N} \pm 291,25 \text{ N}$ (procentinis pokytis 12,15 %). Maksimali atsispyrimo jėga atliekant šuolių be amortizuojančio pritūpimo, pritūpus 90^0 kampu (hst90) pašaldžius sumažėjo ($p=0.028$), esant normaliom sąlygom - $943,56 \text{ N} \pm 320,87 \text{ N}$, pašaldžius - $861,41 \text{ N} \pm 324,72 \text{ N}$ (procentinis pokytis 9,19 %). Atnsispyrimo jėga atliekant šuolių su amortizuojančiu pritūpimu, pritupiant iki 135^0 kampo (hp135) po šaldymo nepatikimai sumažėjo ($p=0.695$). Prieš šaldymą $1308,31 \text{ N} \pm 233,43 \text{ N}$, po šaldymo – $1276,54 \text{ N} \pm 361,82 \text{ N}$ (procentinis pokytis 2,48 %). Išanalizavus, tiriamujų imtis išsiskyrė, 7 atvejais sumažėjo ($p<0,05$), 5 atvejais nepakito ($p<0,05$). Atliekant šuolių su amortizuojančiu pritūpimu, pritupiant iki 90^0 kampo (hp90) atnispyrimo jėga prieš šaldymą buvo lygi $907,55 \text{ N} \pm 202,53 \text{ N}$, po šaldymo – $845,52 \text{ N} \pm 214,99 \text{ N}$ (procentinis pokytis 6,04%). Šio šuolio maksimali atnispyrimo jėga sumažėjo statistiškai nepatikimai ($p=0,239$). 8 atvejais sumažėjo ($p<0,05$), 4 atvejais nepakito ($p>0,05$). (6 pav.)

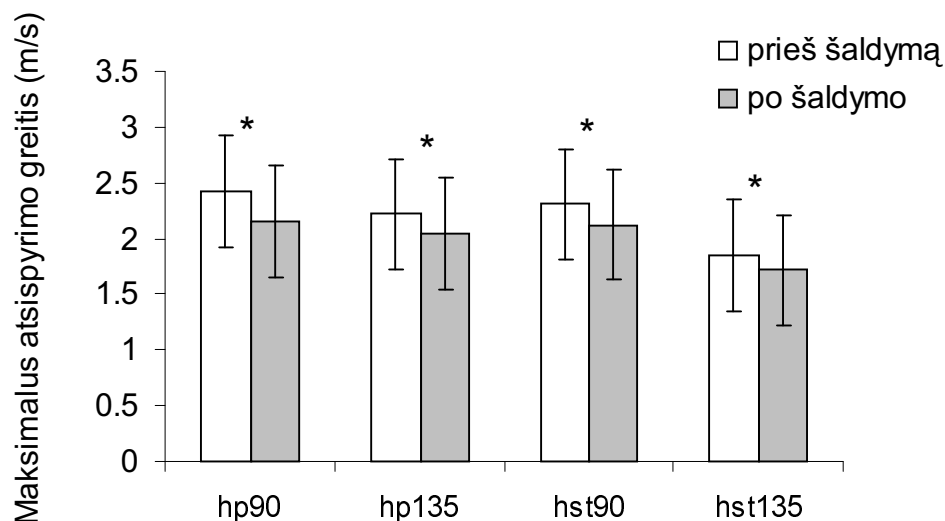


6 pav. Maksimalios atnispyrimo jėgos vidurkiai (N) prieš ir po šaldymo

Trumpinimai. hp90 – šuoliuko su amortizuojančiu pritūpimu iki 90^0 kampo rezultatai; hp135 – šuoliuko su amortizuojančiu pritūpimu iki 135^0 kampo rezultatai; hst90 – šuoliuko be amortizuojančio pritūpimo, iš 90^0 kampo rezultatai; hst135 – šuoliuko be amortizuojančio pritūpimo, iš 135^0 kampo rezultatai; * - $p<0,05$ lyginant reikšmes tarpusavyje.

3.2.2. Šuolio atsispyrimo greitis

Maksimalaus atsispyrimo greičio vidurkis atliekant šuolių be amortizuojančio pritūpimo, pritūpus 135^0 kampu (hst135) pašaldžius sumažėjo ($p=0.013$), prieš šaldymą - $1.854 \text{ m/s} \pm 0,366 \text{ m/s}$, po šaldymo – $1.716 \text{ m/s} \pm 0,324 \text{ m/s}$ (procentinis pokytis 7.03 %). Maksimalus atsispyrimo greitis atliekant šuolių be amortizuojančio pritūpimo, pritūpus 90^0 kampu (hst90) po šaldymo sumažėjo ($p=0.005$) palyginus su šuoliu normaliomis sąlygomis, dydžiai atitinkamai $2,125 \text{ m/s} \pm 0,179 \text{ m/s}$ ir $2,307 \text{ m/s} \pm 0,273 \text{ m/s}$ (procentinis pokytis 7.387 %). Atliekant šuolių su amortizuojančiu pritūpimu, pritupiant iki 135^0 kampo (hp135) atsispyrimo greitis po šaldymo sumažėjo ($p=0.01$), prieš šaldymą buvo lygus $2,219 \text{ m/s}$, $\pm 0,288 \text{ m/s}$, po šaldymo – $2,048 \text{ m/s} \pm 0,160 \text{ m/s}$ (procentinis pokytis 6.959 %). Atliekant šuolių su amortizuojančiu pritūpimu, pritupiant iki 90^0 kampo (hp90) atsispyrimo greitis sumažėjo pašaldžius ($p=0.02$), normaliom sąlygom - $2,428 \text{ m/s} \pm 0,212 \text{ m/s}$, pašaldžius – $2,158 \text{ m/s} \pm 0,243 \text{ m/s}$ (procentinis pokytis 10,762 %). (7 pav.)

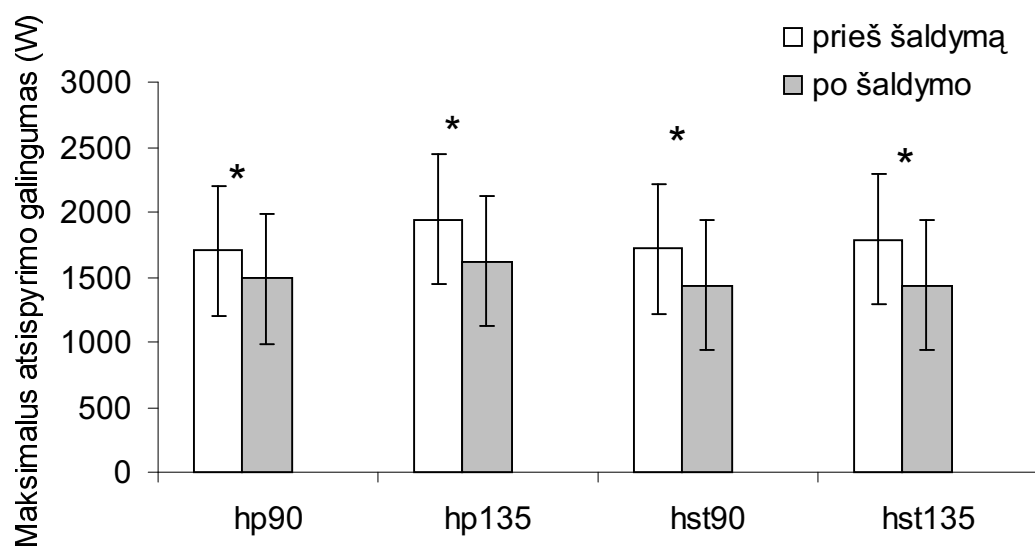


7 pav. Maksimalus atsispyrimo greičio vidurkiai (m/s) prieš ir po šaldymo

Trumpinimai. hp90 – šuoliuko su amortizuojančiu pritūpimu iki 90^0 kampo rezultatai; hp135 – šuoliuko su amortizuojančiu pritūpimu iki 135^0 kampo rezultatai; hst90 – šuoliuko be amortizuojančio pritūpimo, iš 90^0 kampo rezultatai; hst135 – šuoliuko be amortizuojančio pritūpimo, iš 135^0 kampo rezultatai; * - $p<0,05$ lyginant reikšmes tarpusavyje.

3.2.3. Šuolio atsispyrimo galingumas

Maksimalaus atsispyrimo galingumo vidurkis atliekant šuolių be amortizuojančio pritūpimo, pritūpus 135^0 kampu (hst135) pašaldžius sumažėjo ($p=0.003$), esant normaliom sąlygom - $1787.989 \text{ W} \pm 485.720 \text{ W}$, pašaldžius – $1431.291 \text{ W} \pm 425.721 \text{ W}$ (procentinis pokytis 19.160 %). Atliekant šuolių be amortizuojančio pritūpimo, pritūpus 90^0 kampu (hst90) maksimalus atsispyrimo galingumas pšaldžius sumažėjo ($p=0.006$), prieš šaldymą $1715.930 \text{ W} \pm 301.591 \text{ W}$, po šaldymo – $1436.013 \text{ W} \pm 351.374 \text{ W}$ (procentinis pokytis 16.317 %). Atliekant šuolių su amortizuojančiu pritūpimu, pritupiant iki 135^0 kampo (hp135) atsispyrimo galingumas pašaldžius sumažėjo ($p=0.019$) prieš šaldymą buvo $1944.188 \text{ W} \pm 337.803 \text{ W}$, po šaldymo – $1619.857 \text{ W} \pm 353.442 \text{ W}$ (procentinis pokytis 15.876 %). Atliekant šuolių su amortizuojančiu pritūpimu, pritupiant iki 90^0 kampo (hp90) atsispyrimo galingumas pašaldžius sumažėjo ($p=0.013$), prieš šaldymą - $1702.393 \text{ W} \pm 354.048 \text{ W}$, po šaldymo – $1490.553 \text{ W} \pm 386.679 \text{ W}$ (procentinis pokytis 12.294 %). (8 pav.)

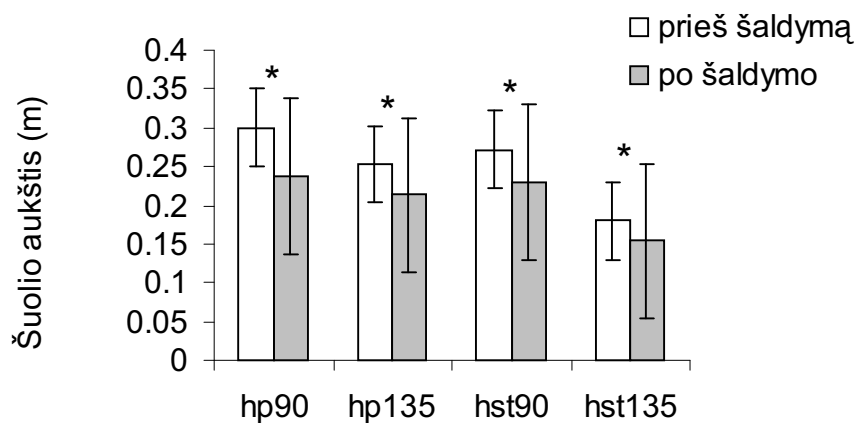


8 pav. Maksimalus atsispyrimo galingumo vidurkiai (W) prieš ir po šaldymo

Trumpinimai. hp90 – šuoliuko su amortizuojančiu pritūpimu iki 90^0 kampo rezultatai; hp135 – šuoliuko su amortizuojančiu pritūpimu iki 135^0 kampo rezultatai; hst90 – šuoliuko be amortizuojančio pritūpimo, iš 90^0 kampo rezultatai; hst135 – šuoliuko be amortizuojančio pritūpimo, iš 135^0 kampo rezultatai; * - $p<0,05$ lyginant reikšmes tarpusavyje.

3.2.4. Šuolio aukštis

Šuolio aukščio vidurkis atliekant šuolių be amortizuojančio pritūpimo, pritūpus 135^0 kampu (hst135) pašaldžius sumažėjo ($p=0,012$), esant normaliom sąlygom - $0,18 \text{ m} \pm 0,069 \text{ m}$, pašaldžius – $0,154 \text{ m} \pm 0,055 \text{ m}$ (procentinis pokytis 13,167 %). Šuolio aukščio vidurkis atliekant šuolių be amortizuojančio pritūpimo, pritūpus 90^0 kampu (hst90) po šaldymo sumažėjo ($p=0,005$) prieš šaldymą - $0,272 \text{ m} \pm 0,063 \text{ m}$, po šaldymo – $0,23 \text{ m} \pm 0,038 \text{ m}$ (procentinis pokytis 13,829 %). Šuolio aukščio vidurkis atliekant šuolių su amortizuojančiu pritūpimu, pritupiant iki 135^0 kampo (hp135) pašaldžius sumažėjo ($p = 0,007$), prieš šaldymą - $0,253 \text{ m} \pm 0,064 \text{ m}$, po šaldymo – $0,213 \text{ m} \pm 0,033 \text{ m}$ (procentinis pokytis 12,991 %). Šuolio aukščio vidurkis atliekant šuolių su amortizuojančiu pritūpimu, pritupiant iki 90^0 kampo (hp90) pašaldžius sumažėjo ($p=0,002$), prieš šaldymą - $0,3 \text{ m} \pm 0,054 \text{ m}$, po šaldymo – $0,238 \text{ m} \pm 0,05 \text{ m}$ (procentinis pokytis 19,293 %). (9 pav.).



9 pav. Šuolio aukščio vidurkiai (m) prieš ir po šaldymo

Trumpinimai. hp90 – šuoliuko su amortizuojančiu pritūpimu iki 90^0 kampo rezultatai; hp135 – šuoliuko su amortizuojančiu pritūpimu iki 135^0 kampo rezultatai; hst90 – šuoliuko be amortizuojančio pritūpimo, iš 90^0 kampo rezultatai; hst135 – šuoliuko be amortizuojančio pritūpimo, iš 135^0 kampo rezultatai; * - $p<0,05$ lyginant reikšmes.

3.2.5. Lėtosios ir greitosios raumeninės skidulos

Palyginus šuolių pritupiant iki 90^0 ir iki 135^0 kampo rodiklių pokyčius, matome kad abiejų šuolių tipų rezultatai po šaldymo pakito vienodai reikšmingai. (3 lent.).

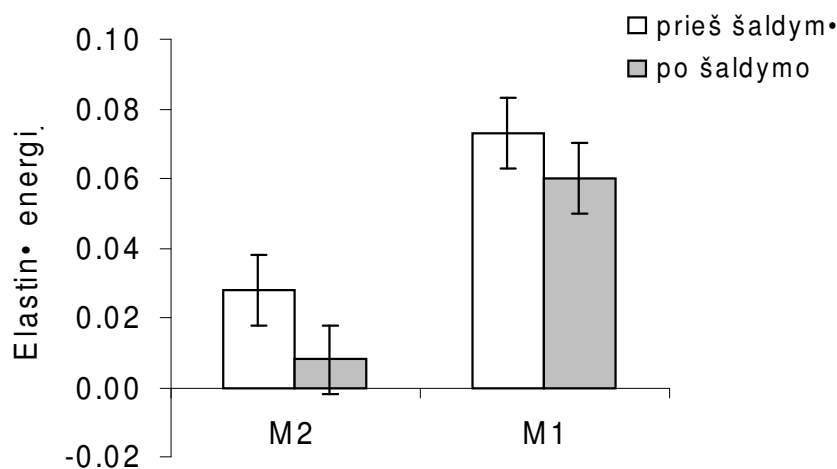
3 lentelė. Šuolių pritūpiant iki 90^0 ir 135^0 kampo rodiklių pokytis po šaldymo.

Rodikliai	90^0	135^0
Atsispyrimo jėgos pokytis, %	hst – $9,19 \pm 10,72$; p<0.05 hp – $6,04 \pm 14,64$	hst – $12,15 \pm 9,78$; p<0.05 hp – $2,48 \pm 19,27$
Atsispyrimo greičio pokytis, %	hst – $7,39 \pm 5,96$; p<0.05 hp – $10,76 \pm 10,25$; p<0.05	hst – $7,03 \pm 7,62$; p<0.05 hp – $6,96 \pm 7,22$; p<0.05
Atsispyrimo galingumo pokytis, %	hst – $16,32 \pm 11,88$; p<0.05 hp – $12,29 \pm 13,33$; p<0.05	hst – $19,16 \pm 14,19$; p<0.05 hp – $15,88 \pm 16,54$; p<0.05
Šuolio aukščio pokytis, %	hst – $13,83 \pm 11,17$; p<0.05 hp – $19,29 \pm 16,64$; p<0.05	hst – $13,17 \pm 13,87$; p<0.05 hp – $12,99 \pm 13,33$; p<0.05

Trumpinimai. hst – šuolis be amortizuojančio pritūpimo; hp – šuolis su amortizuojančiu pritūpimu.

3.2.6. Šuolio elastinė energija

Vertikalaus šuoliuko elastinė energija sumažinus raumens temperatūrai buvo mažesnė, nei elastinė energija, esant normaliai kojų raumenų temperatūrai, tačiau pokytis nebuvo reikšmingas. Lyginant šuoliukus su ir be amortizuojančio pritūpimo, pritūpiant iki 90^0 kampo, prieš šaldymo procedūrą M2 (absoliutus elastingumas) buvo $0,028 \pm 0,047$ (M3 (santykinis elastingumas) $8,725 \pm 15,311\%$), po šaldymo procedūros M2 $0,008 \pm 0,048$ (M3 $0,67 \pm 30,934\%$). Elastinės energijos pokytis po šaldymo procedūros nebuvo reikšmingas ($p=0,638$). Lyginant šuoliukus su ir be amortizuojančio pritūpimo, pritūpiant iki 135^0 kampo, prieš šaldymo procedūrą M1 (absoliutus elastingumas) buvo $0,073 \pm 0,041$ (M4 - santykinis elastingumas - $29,616 \pm 16,178\%$), po šaldymo procedūros M1 lygus $0,06 \pm 0,037$ (M4 – $29,102 \pm 18,649\%$). Elastinės energijos pokytis po šaldymo procedūros nebuvo reikšmingas ($p=1$). (10 pav.).



10 pav. Šuoliuko, pritūpiant iki 90^0 kampo, absoliutus elastinės energijos pokytis prieš ir po šaldymo

Trumpinimai. M2 – šuolio pritūpiant iki 90^0 kampo elastinė energija; M1 – šuolio pritūpiant iki 135^0 kampo elastinė energija.

4. TYRYMO REZULTATU APTARIMAS

Kojų raumenų išvystoma jėga, veikiama skirtingų temperatūrų, pakito nereikšmingai, tiek pašildžius, tiek pašaldžius ($p>0,05$). Tačiau atliekant šuoliukus be amortizuojančio pritūpimo, po šaldymo procedūros, jėgos pokytis buvo patikimas. Atsižvelgiant į didelį rezultatų išsibarstymą analizavome kiekvieną atvejį atskirai. Skirtingų temperatūrų poveikis atskiriems tiriamiesiems buvo nevienodas, išsiskyrė dvi grupės tiriamujų, kurių jėgos išvystymą temperatūra veikė skirtingai. Tai būtų galima paaškinti nevienodu temperatūros poveikiu skirtingoms raumeninėms skaidulomis (Ranatunga, 1984; Bottinelli et al., 1996). Taip atsitiko, nes tiriamujų nediferencijavome pagal morfologinius aspektus. Kitų mokslininkų duomenimis žymūs raumenų jėgos pokyčiai taip pat nepastebėti (Skurvydas ir kt., 1999). Manoma, kad padidėjus normaliai raumens temperatūrai, pagerėja raumens atspalaidavimo mechanizmai ir skersiniai miozino tilteliai nespėja sudaryti stiprių jungčių (Davies, 1983). Skurvydas ir kt. (1999) teigia, kad dėl temperatūros padidėjimo pasilpsta valingos jėgos generavimo mechanizmai. Taigi temperatūros poveikis raumenų jėgos vystymuisi yra diskutuotinas.

Kojų raumenų susitraukimo greitis temperatūrų pokyčiams buvo jautresnis. Jo pokyčiai pašaldžius buvo statistiškai patikimi tiek šuoliukų su amortizuojamčiu pritūpimu, tiek be amortizuojančio pritupimo ($p<0,05$). Pašildžius patikimai padidėjo šuoliuko be amortizuojančio pritupimo, pritūpus iki 90° kampo, rezultatai. Maksimalus greitis, kurį pasiekus raumuo gali sutrumpėti yra veikiamas miozino ATP_{azēs} fermento. Šis fermentas kontroliuoja aktino ir miozino sąveikos greitį, vadinasi ir skersinių tiltelių ciklo greitį. Šio fermento aktyvumas priklauso nuo temperatūros pokyčių – jis padidėja, kai temperatūra yra pakilusi (Rall, Woledge, 1990).

Pasyvus raumenų šildymas ir šaldymas skirtingai paveikė raumenų galingumą. Po šaldymo procedūros patikimai pakito visų tipų šuoliukų rezultatai ($p<0,05$). Po šildymo nepatikimas buvo tik šuoliuko be amortizuojančio pritupimo, pritūpus iki 135° kampo rezultatų pokytis. Taip yra, nes galingumą atspindi atsispyrimo jėgos ir greičio sandauga. Iš ankstesnių atsispyrimo jėgos ir greičio rezultatų matyti, kad jėga yra tas nestabilus rodiklis, dėl kurio nesikeitė maksimalus galingumas. Temperatūros reikšmė raumenų galingumui reikštų jos poveikį ATP hidrolizei ir resintezei. Skirtinga temperatūros įtaka raumenų galingumui iškelia hipotezę, kad temperatūra, veikdama ATP hidrolizę, gali taip pat įtakoti raumenų susitraukimo galingumą. Taip pat yra vieninga nuomonė, kad esant žemai raumens temperatūrai, sumažėja raumens susitraukimo greitis, o kadangi raumens susitraukimo galingumas yra lygus susitraukimo greičio ir jėgos sandaugai arba atliktam darbui per laiko vienetą, vadinasi padidėjusi ATP hidrolizė teigiamai veikia raumens susitraukimo greitį. Taigi, pakilus temperatūrai jėga nedidėja, bet maksimalus greitis ($V_{maks.}$) slenka į dešinę 12 % nuo kiekvieno padidėjusio temperatros laipsnio (C) (Ball, Burrows, Sargeant, 1999; Blinkhorst, Hoofd,

Vissers, 1977). Manoma, kad raumens susitraukimo izometrinės jėgos ir susitraukimo galingumo (vertikalaus šuolio) sumažėjimas po šaldymo atsiranda todėl, kad sulėtėja aktino- miozino tiltelių sukibimo skaičius ir miozino tiltelių sukibimo su aktinu jėga, dėl sulėtėjusios ATP hidrolizės ir neorganinio fosfato sumažėjimo (Coupland et al., 2001). Kita priežastis, kodėl šaltas raumuo lėčiau atsipalaiduoja, tai padidėjusi vidulastelinė Ca^{2+} koncentracija ir sulėtėjęs Ca^{2+} jonų sugrįžimas į sarkoplazminę tinklą (Hollingworth et al., 1996; Tanaka, 1997; Johnson et al., 1997; van der Heijden et al., 2000).

Šuolio aukštis po pašildymo žymiai padidėjo. Patikimai padidėjo šuoliukų su ir be amortizuojančio pritupimo, pritupiant iki 90^0 kampo rezultatas ($p<0,05$). Pašaldžius visų tipų šuoliukų aukštis reikšmingai sumažėjo ($p<0,05$). Kadangi kojų raumenų atsispyrimo galingumas tiesiogiai sąlygoja šuolio aukštį, pastarojo padidėjimą ir sumažėjimą aiškintume tais pačiais mechanizmais – asispyrimo greičio padidėjimu pašildžius ir sumažėjimu pašaldžius.

Pagreitėjęs raumens atsipalaidavimas pašildžius pateisina šilumos naudojimą raumens spazmui mažinti, skausmo – spazmo ciklui pralaužti. Padidėjęs raumens susitraukimo galingumas parodo pasyvaus šildymo prieš pratimus privalumus. Šildymas ir pratimai pagrietina raumens atsistatymą, tačiau pagreitina ir nuovargį (Tiidus, 1997; Sargeant, 1987). Tačiau šiluma nemažina patinimo ir hematomos, ji neefektyvi mažinant ūmų skausmą (Brosseau, Yonge, Robinson et al., 2003). Šiluma labiau tiktų nuolatiniam, miofascialiniam skausmui gydyti.

Iš tyrimo matyti, kad šaldymas labiau veikia raumenis, nei šiluma. Šaldymas lėtina raumens atsipalaidavimą, lėtina susitraukimą, aktino - miozino tiltelių sukibimą. Po šaldymo sumažėjo ir raumens susitraukimo jėga ir galingumas, sulėtėjo metabolizmas, tagi nuvargusio ir pašaldojo raumens pokyčiai panašūs (de Ruiter, de Haan, 2001). Tai rodo, kad šalčio naudojimas spazmo mažinimui pagrystas labiau refleksiniai mechanizmai. Kriokinetikos taikymas taip pat diskutuotinas. Kai kurie tyrimai nenustatė reikšmingo šalčio poveikio raumenims (Paddon-Jones, Quigley, 1997; Taylor, Waring, Brashear, 1995). Šalčio poveikis vazodilatacijai nėra žymus, taigi kraujotaką aktyvina pratimai, o šaltis reikalingas tik skausmui mažinti (Knight, Londeree, 1980). Tačiau pašaldžius raumenis matome, kad sukibusių tiltelių ryšys stipresnis, reikalingos mažesnės energetinės sąnaudos, nes raumeniui atsipalaiduojant ne visi tilteliai spėja atsikabinti (Davies, Young, 1985). Šaldymas sumažina audinių jautrumą, tačiau neveikia pusiausvyros pojūčio, taigi nepadidina rizikos susižeisti (Hopper, Whittington, Davies, 1997). Raumuo tampa stabilesnis, šaldymas padidina pratimų atlikimo saugumą.

Lyginant skirtinį šuoliukų kinetinių ir kinematinių rodiklių pokyčius, matome, kad lėto tipo raumeninės skaidulos labiau reagavo į temperatūros pakėlimą, nei greitosios. Tuo tarpu į temperatūros sumažėjimą panašiai reagavo abiejų tipų skaidulos. Raumens temperatūrai esant aukštesniai nei nei 30°C , greitosios raumeninės skaidulos tampa mažiau stabilios, bet šio tipo

raumeninių skaidulų skersinių tiltelių kinetinės savybės pagerėja. Triušio lėtosios raumeninės skaidulos turi pranašumą prieš greitąsias, kadangi jos stabilesnės tada, kai temperatūra yra aukštesnė, ir dėl to, kad jos veikia elementariais ciklais, kurie yra 10 – 30 kartų lėtesni nei greitujų raumeninių skaidulų (Wang, Kawai, 1996, 1997). Lyginant skirtingą raumeninių skaidulų kinetinių ir kinematinių rodiklių pokyčius sumažinus raumens temperatūrą, šie sutampa su kitų mokslininkų rezultatais, skirtumas tarp lėtujų ir greitujų skaidulų nėra reikšmingas (Ranatunga, Wylie, 1983; Ranatunga, 1977, 1984).

Kojų raumenų elastinė energija į temperatūros pokyčius reagavo nežymiai. Pakėlus raumens temperatūrą, elastinės energijos pokytis tiek šuoliuko pritūpiant iki 90⁰ kampo, tiek šuoliuko pritūpiant iki 135⁰ kampo, buvo nereikšmingas ($p>0,05$). Sumažinus raumenų temperatūrą, abiejų tipų šuoliukų elastinės energijos sumažėjimas taip pat buvo nereikšmingas ($p>0,05$). Elastinių komponentų esančių tarp miozino ir aktino siūlų, skersinių tiltelių indėlis sukaupiant elastinę energiją, padidėjus raumens temperatūrai, sumažėja, nes tada pagreitėja skersinių tiltelių atkibimo greitis (Asmussen et al., 1976). Žinoma, kad padidėjus raumens temperatūrai sumažėja vidinis raumens įtempimas, dėl to pablogėja elastinės energijos sukaupimas. Kai viršijamas audinio ištempimo kritinis lygis, pasibaigus ištempimui audinys nebegali grįžti į pradinį ilgį, tada ir prarandama dalis elastinės energijos (Bosco, 1999). Taigi, galima manyti, kad padidėjus temperatūrai audinys buvo per daug ištemptas ir viršijo ištempimo kritinį lygį, o pasibaigus ištempimui audinys nebegalėjo sugrįžti į pradinį ilgį, dėl to buvo prarasta dalis elastinės energijos. Todėl manome, kad dėl šildymo poveikio, kontraktiniais raumens komponentais ir juose vykstantys biocheminiai procesai daugiau teigiamai veikia šuolio aukščio pagerėjimą. Elastinių komponentų esančių tarp miozino ir aktino siūlų skersinių tiltelių, indėlis sukaupiant elastinę energiją yra didesnis esant žemai raumens temperatūrai, nes tada sumažėja skersinių tiltelių atkibimo greitis (Asmussen et al., 1976). Tai rodo, kad esant žemai raumens temperatūrai ir dideliai raumens deformacijai raumuo geba efektyviau panaudoti elastinę energiją.

Tai pateisina tempimo ir šaldymo derinimą. Sumažėjusi raumens temperatūra padeda ilgiau išlaikyti raumens linijinę deformaciją (Lentell et al., 1992). Tai sutinka su kitų tyrejų duonenimis, rodančiais ledo derinimo su tempimo pratimais naudą (Knight, Rutledge, Cox et al., 2001). Šiluma padidina raumens elastingumą, tai leidžia sumažinti tempimui naudojamą jėgą, tačiau aktino – miozino tilteliams sudarant silpnesnius ryšius, pagreitėjus raumens atsipalaidavimui, raumuo praranda stabilumą. Taigi, šilumos tempimo kombinacija sunkiau kontroliuojama praktikoje, atsiranda didesnė traumavimosi galimybė (Deltorage, 2002).

Interpretuoti šiuos duomenis gana sunku, nes kai tiriamas visas raumuo, nėra aišku ar temperatūra vienodai aktyvuoja visas skaidulas ir juo labiau – skersinius tiltelius. Taip pat nėra žinoma, kaip temperatūros poveikį įtakoja taiko tarpas, tarp tyrimo etapų, išmokimo faktorius,

gebėjimas mobilizuoti motorinius vienetus. Dalis duomenų neatitinka statistinių patikimumo standartų, kad jais butų galima ką nors teigti. Greičiausiai tai lėmė maža tiriamujų imtis bei tai, kad tiriamieji buvo skirtingų lyčių, skirtingų sporto šakų atstovai ar išvis nesportuojantys.

5. APIBENDRINIMAS

Pagrindinis šio darbo tikslas išsiaiškinti kaip pasyvus raumenų šildymas ir šaldymas paveiks raumenų kontraktinės savybes. Šildymas labiau paveikė graiučių raumenis, reikšmingai pakito beveik visi rodikliai. Šildymas raumenis paveike ne taip žymiai. Reikšmingiausiai pakito raumens galingumo ir šuolio aukščio rodikliai. Skirtinga temperatūros įtaka raumenų galingumui iškelia hipotezę, kad temperatūra, veikdama ATP hidrolizę, gali taip pat įtakoti raumenų susitraukimo galingumą. Taip pat yra vieninga nuomonė, kad esant žemai raumens temperatūrai, sumažėja raumens susitraukimo greitis, o kadangi raumens susitraukimo galingumas yra lygus susitraukimo greičio ir jėgos sandaugai arba atlirkam darbui per laiko vienetą, vadinasi padidėjusi ATP hidrolizė teigiamai veikia raumens susitraukimo greitį. Iš ankstesnių atsispyrimo jėgos ir greičio rezultatų matyti, kad jėga yra tas nestabilus rodiklis, dėl kurio nesikeitė maksimalus galingumas. (Ball, Burrows, Sargeant, 1999; Blinkhorst, Hoofd, Vissers, 1977). Manoma, kad raumens susitraukimo izometrinės jėgos ir susitraukimo galingumo (vertikalaus šuolio) sumažėjimas po šaldymo atsiranda todėl, kad sulėtėja aktino- miozino tiltelių sukibimo skaičius ir miozino tiltelių sukibimo su aktinu jėga, dėl sulėtėjusios ATP hidrolizės (Savouvery et al., 1992) ir neorganinio fosfato sumažėjimo (Coupland et al., 2001). Kita priežastis, kodėl šaltas raumuo lėčiau atsipalaiduoja, tai padidėjusi vidulastelinė Ca^{2+} koncentracija ir sulėtėjęs Ca^{2+} jonų sugrižimas į sarkoplazminę tinklą (Hollingworth et al., 1996; Tanaka, 1997; Johnson et al., 1997; van der Heijden et al., 2000).

Lėtosios raumeninės skaidulos labiau reagavo į šilumą, nei greitosios. Lėtosios raumeninės skaidulos turi pranašumą prieš greitąsias, kadangi jos stabilesnės tada, kai temperatūra yra aukštesnė, ir dėl to, kad jos veikia elementariais ciklais, kurie yra 10 – 30 kartų lėtesni nei greitųjų raumeninių skaidulų (Wang, Kawai, 1996, 1997).

Elastinė energija į temperatūros pokyčius reikšmingai nereagavo, vadinasi elastinė energija ir dėl šildymo ir dėl šaldymo kito vienodai, tai leidžia daryti prielaidą, kad kontraktinės raumens komponentai ir juose vykstantys biocheminiai procesai turi didesnę reikšmę šuolio aukščio pgerėjimui, ar sumažėjimui.

Taikant šiuos duomenis fizioterapinėje praktikoje, reikia įvertinti tai, kad šaltis labiau paveikė raumenis nei šiluma. Greičiausiai jis neveikia raumens spazmo, bet padeda sumažinti skausmą, o tai leidžia atlkti pratimus, mažinančius raumens spazmą. Šildymas lėtina raumens atsipalaidavimą bei susitraukimą, aktino – miozino tiltelių sukibimą, lėtina metabolizmą, taigi, atitolina nuovargį. Pašaldyto raumens sukibusių titelių ryšys stipresnis, atsipalaiduojant ne visi tilteliai spėja atsikabinti, reikalingos mažesnės energetinės sanaudos. Šildymas neveikia pusiausvyros jutimo, taigi nepadidina rizikos susižeisti.

Šiluma padidina raumens elastingumą, tai leidžia sumažinti tempimui naudojamą jėgą, tačiau aktino – miozino tilteliams sudarant silpnesnius ryšius raumuo praranda stabilumą. Taigi, šilumos ir tempimo kombinacija sunkiau kontroliuojama praktikoje, atsiranda didesnė traumavimosi galimybė (Deltorage, 2002). Šiluma veikia raumens spazmą, pagreitindama raumens atsiplaidavimą, tačiau netinka taikyti ūmių pažeidimų atvejais, taigi, ji labiau tiktų miofascialiniam raumenų skausmui gydyti.

IŠVADOS

1. Griaučių raumenų kontraktileinės savybės, atliekant ekscentrinius - koncentrinius pratimus, pakėlus raumens temperatūrą pakito nevienodai. Reikšmingai padidėjo raumens susitraukimo galingumas, raumens susitraukimo jėga nepakito. Tai priklausė nuo imties pasirinkimo kriterijų, analizuojamų imties parametru ir regiszruojamos savybės.
2. Sumažinus raumens temperatūrą griaučių raumenų kontraktileinės savybės (susitraukimo jėga, greitis, galingumas), atliekant ekscentrinius - koncentrinius pratimus, reikšmingai sumažėjo.
3. Taikant pasyvų šildymą, į temperatūros pokyčius labiau reagavo lėtosios raumeninės skaidulos: atliekant ekscentrinius – koncentrinius pratimus reikšmingai padidėjo raumens susitraukimo galingumas. Sumažinus raumens temperatūrą ir lėtujų ir greitujų raumeninių skaidulų susitraukimo savybės, atliekant ekscentrinius – koncentrinius pratimus, kito vienodai: reikšmingai sumažėjo susitraukimo greitis, galingumas.
4. Pakėlus ar sumažinus raumens temperatūrą raumens elatinės energijos panaudojimas, atliekant ekscentrinius – koncentrinius pratimus, nepakito.
5. Taikant fizioterapines priemones – šildymą ir šaldymą – reikia atsižvelgti į raumens kontraktileinių savybių priklausomybę nuo temperatūros.

LITERATŪRA

1. Asmussen, E., Boje, O. (1945). Body temperature and capacity for work. *Acta Physiologica Scandinavica*, 10, 1-22.
2. Asmussen, E., Bonde-Petersen, F., Jorgensen, K. (1976). Mechano – elastic properties of human muscles at different temperatures. *Acta Physiol Scand*, 96 (1), 83-93.
3. Astrand, P.O., Rodahl, K. (1986). *Textbook of work physiology: Physiological bases of exercise*. McGraw – Hill.
4. Ball, D., Burrows, C., Sargeant, A.J. (1999). Human power output during repeated sprint cycle exercise: the influence of thermal stress. *Eur J Appl Physiol*, 79:360-366.
5. Bennet, A. (1984). Thermal dependence of muscle function. *Am J Physiol*, 247; R217 – R229.
6. Berg, U., Ekblom, B. (1979). Influence of muscle temperature on maximal muscle strength and power output in human skeletal muscles. *Acta Physiologia Scandinavica*, 107, 33-37.
7. Binkhorst, R.A., Hoofd, L., Vissers, A.C.A. (1977). Temperature and force-velocity realionship of human muscle. *J Appl Physiol*, 42, 471-475.
8. Bishop, D. (2003). Potential mechanisms and the effects of passive warm up on exercise performance. *Warm up I*, 33 (6), 439 – 454.
9. Blomstrand, E., Bergh, U., Essen-gustavsson, B., Ekblom, B. (1984). Influence of low muscle temperature on muscle metabolism during intense dynamic exercise. *Acta Physiol Scand*, 120, 229 – 236.
10. Booth, J., Wilsmore, B.R., Macdonald, A.D., Zeyl, A., Acghee, S., et al. (2001). Whole – body pre – cooling does not alter human muscle metabolism during sub – maximal exercise in the heat. *Eur J Appl Physiol*, 84, 587 – 590.
11. Bosco, C. (1999). *Strength assessment with the Bosco's test*. Roma.
12. Bosco, C., Tihanyi, J., Komi, P.V., Fekete, G., Apor, P. (1982). Store and recoil of elastic energy in slow and fast types of human skeletal muscles. *Acta Physiol Scand*, 116(4), 343-9.
13. Bosco, C., Komi, P.V., Tihanyi, J., Fekete, G., Apor, P. (1983a). Mechanical power test and fiber composition of human leg extensor muscles. *Eur J Appl Physiol*, 51(1), 129 – 135.
14. Bosco, C., Luhtanen, P., Komi, P.V. (1983b). A simple method for measurment of mechanical power in jumping. *Eur J Appl Physiol*, 50(2), 273 – 282.
15. Bosco, C., Rsko, H. (1983c). The effect of prolonged skeletal muscle stretch- shortening cycle on recoil of elastic energy and on energy expenditure. *Acta Physiol Scand*, 119(3), 219 – 224.
16. Bosco, C., Zanon, S., Rusco, H., Dal Monte, A., Bellotti, P., et al. (1984). The influence of extra load on the mechanical behavior of skeletal muscle. *Eur J Appl Physiol*, 5(2), 149 – 154.

17. Bosco, C., Tihanyi, J., Latteri, F., Fekete, G., Apor, P., Rusco, H. (1986). The effect of fatigue on store and re-use elastic energy in slow and fast types of human skeletal muscle. *Acta Physiol Scand*, 128(1), 109 – 117.
18. Bottinelli, R., Canepari, M., Pellegrino, M. A., Reggiani, C. (1996). Force – velocity properties of human skeletal muscle fibres: myosin heavy chain isoform and temperature dependence. *J Physiol (London)*, 7, 495-573.
19. Brenner, B. (1988). Effect of Ca on cross-bridge turnover kinetics in skinned single psoas fibers: implication of muscle contraction. *Proc Nat Acad USA*, Vol.85, 3542-3546.
20. Brodowicz, G.R., Welsh, R., Wallis, J. (1996). Comparison of stretching with ice, stretching with heat, or stretching alone on hamstring flexibility. *Journal of Athletic Training*, 31:324 – 27.
21. Brosseau, L., Yonge, K.A., Robinson, V., Marchand, S., Judd, M., et al. (2003). Thermotherapy for treatment of osteoarthritis. *Cochrane Database Syst Rev*, (4): CD004522.
22. Cecci, G. Lombardi, V., Menchette, G. (1984). Development of force-velocity relation and rise of isometric tetanic tension measure the time course of different processes. *Pflugers Arch*, Vol.401, 396-401.
23. Coupland, M.E., Puchert, E., Ranatunga, K.W. (2001). Temperature dependence of active tension in mammalian (rabbit psoas) muscle fibers: effect of inorganic phosphate. *J Physiol Nov*, 1; 536 (Pt 3): 879-91.
24. Craig, R. (2000). *Therapeutic Modalities for Athletic Injuries*. Human Kinetics.
25. Cross, K.M., Wilson, R.W., Perrin, D.H. (1995). Functional performance following ice immersion to the lower extremity. *J Athl Train*, 31:231 – 234.
26. Davies, C.T.M., Young, K. (1985). Effect of heating on the contractile properties of triceps surae and maximal power output during jumping in elderly men. *Gerontology*, 31(1), 1-5.
27. Davies, C.T.M., Young, K. (1983). Effects of temperature on the contractile properties and muscle power of triceps surae in humans. *J Appl Physiol*, Vol.55, 191-195.
28. Deltorage, G. (2002). *Musculoskeletal Trauma: Implications for Sports Injury Management*. Human Kinetics.
29. Desmedt, J. (1981). The size principle of motoneuron recruitment in ballistic or ramp voluntary contraction in man. *Progress in Clin. Neurophysiol* (pp. 145-148). Karger.
30. Ducharme, M.B., Van Helder, W.P., Radomski, M.W. (1991). Cyclic intramuscular temperature fluctuations in the human forearm during cold-water immersion. *Eur J Appl Physiol Occup Physiol*, 63(3 – 4): 193 – 198.
31. Duffield M.H. (1976). *Exercise in water*. 23-27.
32. Enoka, R.M. (1994). Neuromechanical basis of kinesiology. *Champaign, IL: Human Kinetics*, Vol.56, 273-283.

33. Eston, R., Peters, D. (1999). Effects of cold water immersion on the symptoms of exercise – induced muscle damage. *Journal of Sports Sciences*, 17, 231-238.
34. Evans, T.A., Ingersoll, C., Knight, K.L., Worrell, T.W. (1996). Agility following the application of cold therapy. *J Athl Train*, 31:S – 53.
35. Faulkner, J.A., Zerba, E., Brooks S.V. (1990). Muscle temperature of mammals: cooling impairs most functional properties. *Am J Physiol*, Aug; 259(2 Pt 2):R259-65.
36. Febbraio, M.A., Snow, R.J., Hargeaves, M., Stathis, C. G., Martin, I.K., Carey, M.F. (1994). Muscle metabolism during exercise and the heat stress in trained men: effect of acclimation. *J Appl Physiol*, 76, 589 – 597.
37. Ferretti, G., Ishii, M., Moia, C., Cerretelli, P. (1992). Effects of temperature on the maximal instantaneous muscle power of humans. *Eur J Appl Physiol*, 64(2), 112-6.
38. Ferretti, G. (1992). Cold and muscle performance. *Int J Sports Med*, Oct;13 Suppl.1:S, 185-7.
39. Fitts, R.H. (1994). Cellular mechanisms of muscle fatigue. *Physiol Rev*, Vol.7(N.1), 49-95.
40. Fitts, R.H., McDonald, K.S., Schulter, J.M. (1991). The determinants of skeletal muscle force and power: their adaptability with changes in activity pattern. *J Biomechanics*, Vol.24;Suppl.1., 111-122.
41. Funk, D., Swank, A.M., Adams, K.J., Treolo, D. (2001). Efficacy of moist heat pack application over static stretching on hamstring flexibility., *J Strength Cond Res*, Feb.15 (1), 123 – 6.
42. Garrett, W. E. (1990). Muscle strain injuries: Clinical and basic aspects. *Med Sci Sports Exerc*, 22, 436-443.
43. Goldspink, G. (1992). Cellular and molecular aspects of adaptation in skeletal muscle. Oxford, 211 – 230.
44. Gossen, E.R., Allingham, K., Sale, D.G. (2001). Effect of temperature on post-tetanic potentiation in Human dorsiflexor muscles. *Can J Physiol Pharmacol*, Jan; 79(1): 49-58.
45. Greicar, M., Kendric, Z., Kimura, I., Sitler, M. (1996). Immediate and delayed effects of cryotherapy on functional power and agility. *J Athl Train*, 31: S – 33.
46. Haiech, I., Derancourt, I., Pechere, I.F., Demaille, I.G. (1979). Magnesium and calcium banding to parvalbumins: evidence for differences between parvalbumins and an explanation of their relaxing function. *Biochemistry*, Vol.18, 2752-2758.
47. Hakkinen, K. (1994). Neuromuscular adaptation during strength training, aging, detraining and immobilization. *Critical Review in Physical and Rehabilitation Medicine*, 6(3), 161 – 198.
48. van der Heijden, E.P., Kroese, A.B., Werker, P.M. (2000). Improving the preservation of isolated rat skeletal muscles stored for 16 hours at 4 degrees C. *Transplantation*, Apr; 15;69(7):1310 – 22.

49. Hollingworth, S., Zhao, M., Bayl, S.M. (1996). The amplitude and time course of the myoplasmic free (Ca^{2+}) transient in fast – twitch fibers of mouse muscle. *J Gen Physiol*, Nov; 108(5):455 – 469.
50. Hopper, D., Whittington D., Davies, J. (1997). Does ice immersion influence ankle joint position sense? *Physiother Res Int*, 2(4): 223-36.
51. Hou, T.T., Johnson, J.D., Rall, J.A. (1992). Effect of temperature on relaxation rate and Ca, Mg dissociation rates from parvalbumin of frog muscle. *J Physiol (Lond)*, April;449, 399-410.
52. Ichihara, Y. (1998). Effect of temperature no Ca inced Ca release (CICR) rate. Masui, Mar;47(3), 281-5.
53. Jaworowski, A., Arner A. (1998). Temperature sensitivity of force and shortening velocity in maximally activated skinned smooth muscle. *J Muscle Res Cell Motil*, Apr; 19(3):247 – 55.
54. Johnson, J.D., Jiang, Y., Flynn, M. (1997). Modulation of Ca^{2+} transients and tension by intracellular EGTA in intact frog muscle fibers. *Am J Physiol*, May; 272(5 Pt 1):C1437 – 1444.
55. Kirkendall, D.T., Garrett, W.E. (2002). Clinical perspectives regarding eccentric muscle injury. *J Physiol (London)*, 2, S81-89.
56. Knight, K.L., Londeree, B.R. (1980). Comparison of blood flow in the ankle of uninjured subjects during therapeutic applications of heat, cold and exercise. *Med Sci Sports Exerc*, Spring; 12(1): 76-80.
57. Knight, C.A., Rutledge, C.R., Cox, M.E., Acosta, M., Hall, S.J. (2001). Effect of superficial heat, deep heat, and active exercise warm-up on the extensibility of plantar flexors. *Phys Ther*, Jun; 81(6):1206-14.
58. Koga, S., Tomoyuki, S., Narihiko, K., Barstow, T.J. (1997). Effect of increased muscle temperature on oxygen uptake kinetics during exercise. *J Appl Physiol*, 83(4), 1333-1338.
59. Komi, P.V. (1992). Stretch-shortening cycle. In: Komi P.V. (Ed) *Strengt and pover in sports* (pp. 169-179). Blackwell: Oxford.
60. Komi, P.V., Bosco, C. (1978). Utilization of stored elastic energy in leg extensor muscles by men and women. *Medicine and Science in Sports*, Vol. 10, 4, 261 – 265.
61. Kossler, F., Kuchler, G. (1987). Contractile properties of fast and slow twitch muscles of the rat at temperatures between 6 and 42°C . *Biomedica Biochimica Acta*, 46, 815 – 822.
62. Lentell, G., Hetherington, T., Eagan, J., Morgan, M. (1992). The use of thermal agents to influence the effectivenes of a low – load prolonged strech. *Journal of Sports Physical Therapy*, 16:200 – 207.
63. Low, J., Reed, A. (2000). Electrotherapy explained principales and practice. In Heat and Cold. Oxford. Auckland, Boston, Johanesburg, Melbuorne, New Delhi, 212-254.

64. Meeusen, R., Lievens, I. (1986). The use of cryotherapy in sports injuries. *Sports Medicine*, 3;398 – 414.
65. Nomura, T., Kawano, F., Kang, M.S. (2002). Effects of long-term cold exposure on contractile muscles of rats. *Jpn J Physiol*, Feb; 52(1):85-93.
66. Noonan, T.J., Best, T.M., Seaber, A.V., Garrett, W.E. (1993). Thermal effects on skeletal muscle tensile behavior. *Am J Sports Med*, 21 (4), 517 – 522.
67. Oksa, J., Rintamaki, H., Makinen, T., Marikkala, V., Rusko H. (1996). EMG activity and muscular performance of lower leg during stretch- shortening cycle after cooling. *Acta Physiol Scand*, May; 157(1):1-8.
68. Paddon-Jones, D.J., Quigley, B.M. (1997). Effect of cryotherapy on muscle soreness and strength following eccentric exercise. *Int J Sports Med*, Nov; 18(8):588-93.
69. Pette, D. (1986). Regulation of phenotype expression in skeletal muscle fibers by increased contractile activity. In. *Biochemistry of Exercise VI* (pp. 3-27). Champaign, IL.
70. Pollack, G.H. (1990). *Muscles and molecules: Uncovering the principles of biological motion*. Seattle: Ebner and Sons.
71. Prentice, W.E. (1982). An electromyographic analysis of the effectiveness of heat or cold and stretching for inducing relaxation in injured muscle. *The Journal of Orthopaedic and Sports Physical Therapy*, 3:133 – 40.
72. Rall, J.A. (1982). Energetics of Ca cycling during skeletal muscle contraction. *Fed Proc*, Vol.41, 155-160.
73. Rall, J.A., Woledge, R.C. (1990). Influence of temperature on mechanics and energetics of muscle contractions of rat muscles. *J Physiol*, 339, 87 – 95.
74. Ranatunga, K.W. (1982). Temperature – dependence of shortening velocity and rate of isometric tension development in rat skeletal muscle. *J Physiol*, 329, 465 – 483.
75. Ranatunga, K.W., Wylie S.R. (1983). Temperature – dependent transitions in isometric contractions of rat muscle. *J Physiol*, Jun; 339:87-95.
76. Ranatunga, K.W. (1977). Changes produced by chronic denervation in the temperature – dependent isometric contractile characteristics of rat fast and slow twitch skeletal muscles. *J Physiol*, Dec; 273(1):255-62.
77. Ranatunga, K.W. (1984). The force-velocity relation of rat fast- and slow-twitch muscles examined at different temperatures. *J Physiol*, Jun; 351:517 – 29.
78. Ranatunga, K.W., Wylie S.R. (1984). Temperature effects on mammalian muscle contraction. *Biomed Biochim Acta*, 48 (5 – 6):3530-5.
79. Ranatunga, K.W. (1990). Temperature dependence of mechanical power output in mammalian (rat) skeletal muscle. *Exp Physiol* Aug, 259(2 PT 2): R197-203 37.

80. Ranatunga, K.W., Sharpe, B. & Turnbull, B. (1987). Contractions of a human skeletal muscle at different temperatures. *Journal of Physiology (London)*, 390, 383-395.
81. Ranatunga, K.W. (1998). Temperature dependence of mechanical power output in mammalian (rat) skeletal muscle. *Exp Physiol May*, 83(3): 371-6.
82. Ranatunga, K.W., Wylie, S.R. (1989). Temperature effects on mamaalian muscle contraction. *Biomed Biochim Acta*, 48 (5-6): S530-5.
83. Ratkevičius, A., Skurvydas, A., Lexell, J. (1995). Submaximal exercise induced impairment of human muscle to develop and maintain force at low frequencies of electrical stimulation. *Eur J Appl Physiol*, Vol.70, 294-300.
84. Rios, E., Pizzaro, G. (1991). The voltage sensor of excitation-contracting coupling in skeletal muscle. *J Physiol (London)*, Vol.71, 849-908.
85. Robertson, S.P., Johnson, J.P., Potter, J. (1981). The time-course of Ca exchange with calmodulin, troponin, parvalbumin and myosin in response to transient increases in Ca. *Biophys J*, Vol.34, 559-569.
86. de Ruiter, C.J., de Haan, A. (2001). Similar effect on cooling and fatigue on eccentric and concnetric force – velocity relationships in human muscle. *Appl J Physiol*, June, 90 (6): 2109 – 2116.
87. Sale, D.G.(1988). Neural adaptation to resistance training. *Med and Sci In Sp and Exe*, Vol 20; p.135-145.
88. Saltin, B., Gagge, A.P., Bergh, U., Stolwijk, J.A. (1972). Body temperatures and sweating during exhaustive exercise. *Journal Appl Physiol*, 32, 635-643.
89. Sergeant, A.J. (1987). Effect of muscle temperature on leg extension force and short-term power output in humans. *Eur J Appl Physiol*, 56, 693-698.
90. Schmidt, R.A. (1988). *Motor control and motor learning*. Champaign, IL: Human Kinetics.
91. Schmidtblicher, D., Gollhofer, A., Frick, U. (1987). Auswirkungen eines Tiefsprungtrainings auf die Leistungsfähigkeit und das Innertionsverhalten der Beinstreckmuskulatur. *Deutsche Zeitschrift fur Sportmedizin*, 38 (9), 389 – 394.
92. Shellock, F.G., Prentice, W.E. (1985). Warming-up and streching for improved physical performance and prevention of sports – related injuries. *Sports Medicine*, 2, 267-278.
93. Shuler, D.E., Ingersoll, C., Knight, K.L., Kuhlman, J.S. (1996). Local cold application to the foot and ankle lower leg, or both effects on a cutting drill. *J Athl Train*, 31: S – 35.
94. Skurvydas, A., Mamkus, G. (1990). *Sportininkų perspektyvumo nustatymas remiantis raumenų kompozicija*. Vilnius.
95. Skurvydas, A., Kondratavičius, E., Bružas, V. (1999). Temperatūros įtaka raumenų susitraukimo ir atsipalaidavimo savybėms. *Visuomenės sveikata*, 2(8), 31-35.

96. Skurvydas, A., Stasiulis, A., Vilčinskas, P. (1988). *Šoklumo fiziologiniai pagrindai*. Vilnius: Sporto metodikos kabinetas.
97. Skurvydas, A., Maciukas, A., Mamkus, G., Pavilionis, E. (1995). Krepšininkų raumenų sisitraukimų rodiklių kitimas dėl maksimalaus intensyvumo krūvio. *Kūno kultūra*, T.27., p53-59.
98. Stricler, T., Malone, T., Garret, W.E. (1990). The effects of passive warming on muscle injury. *Am J Sports Med*, 18 (2), 141 – 145.
99. Taylor, B.F., Waring, C.A., Brashear, T.A. (1995). The effects of therapeutic application of heat or cold followed by static stretch on hamstring muscle length. *J Orthop Sports Phys Ther*, May; 21(5): 283-6.
100. Tanaka E. (1997). Ca²⁺ release induced by rapid cooling and caffeine in ferret ventricular muscles. *Jpn J Physiol*, Jun; 47(3):263 – 272.
101. Tiidus, P.M.J. (1997). Manual message and recovery of muscle function following exercise; a literature review. *J Ortho Sports Phys Ther*, 25(2): 107 – 102.
102. Vain, A. (1985). Influence of stiffness and damping on muscular performance. *Biomechanics: Current interdisciplinary research. Selected proceedings of the fourth meeting of the European Society of Biomechanics* (pp. 639-641). Dordrecht.
103. Wang, G., Kawai, M. (2001). Effect of temperature on elementary steps of the cross-bridge cycle in rabbit soleus slow-twitch muscle fibres. *J Physiol*, Feb.15;531(Pt 1), 219-34.
104. Wang, K., Kawai, M. (1996). Effects of temperature on elementary steps of the cross – bridge cycle in rabbit soleus slow – twitch muscle fibres. *J Physiol*, 531 (1), 219 – 234.
105. Wang, K., Kawai, M. (1997). Force generation and phosphate release steps in skinned rabbit soleus slow – twitch muscle fibers. *Biophysical Journal*, 73, 878 – 894.
106. Wang, K., McClure, J., Tu, A. (1979). Titin: Major myofibrillar components of striated muscle. *Proc Nat Acad Of Sci USA*, Vol.76(8), 3698-3702.
107. Waterman-Storer, C.M. (1991). The cytoskeleton of skeletal muscle: is it affected by exercise? A brief review. *Med Sci Sp Ex*, Vol.23, 1240-1249.
108. Westerblad, H., Lee, J.A., Lannergren, J., Allen, D.G. (1991). Cellular mechanisms of fatigue in skeletal muscle. *Am J Physiol(Cell Physiol.30)*, Vol.261, 195-209.
109. Viitasalo, J.T., Bosco, C. (1982). Electromechanical behavior of human muscles in vertical jumps. *Eur J Appl Physiol*, 48, 253 – 261.
110. Winters, J.M., Woo, S.L.Y. (1990). *Multiple muscle systems: Biomechanics and organization of movement*. New York: Springer Verlag.
111. Wright, V., Johns, R.J. (1961). Quantitative and qualitative analysis of joint stiffness in normal subjects and in patients with connective tissue diseases. *Ann Rheum Dis*, 20, 36 – 46.

112. Яковлев, Н.Н. (1974). *Биохимия спорта*. Москва.
113. Ящанинас, И.И. (1983). Електрическая активность скелетных мышц, свойства двигательных единиц у различного возраста и их изменения под влиянием спортивной тренировки: афтореф. дисс.докт.биол.наук.
114. Гурфинкель, В.С., Левин, Ю.С. (1985). *Скелетная мышца: структура и функция*. Наука, Москва.
115. Верхонский, Ю. В. (1985). *Основы специальной силовой подготовки в спорте* (pp. 101 – 102). Физкультура и спорт, Москва.
116. Виру, А.А., Курге, Р.К. (1983). *Гормоны и спортивная работоспособность*. Физкультура и спорт, Москва.
117. Саплинскас, Ю.С. (1985). Физиологические характеристики двигательных единиц человека: афтореф. дисс.докт.биол.наук.